

VŠST LIBEREC

nositelka Řádu práce

fakulta strojní

Obor 24 - 34 - 8

Výrobní stroje a zařízení

zaměření

textilní stroje

Katedra textilních a oděvních strojů

**ULOŽENÍ VYSOKOČRÁTKOVÝCH ROTORŮ NA VZDUCHOVÉM  
POLŠTÁŘI**

Autor: Josef Hanuš

Vedoucí práce: Doc. Ing. Jaroslav Charvát, CSc VŠST Liberec

Konzultant: Ing. Josef Ripka, CSc VÚB Ústí nad Orlicí

Rozsah práce a přílohy

Počet stran..... 68

Počet tabulek..... 3

Počet obrázků..... 45

Počet výkresů..... 10

DT:

23.5.1980

175 75

Vysoká škola: strojní a textilní

Katedra: textilních a oděvních strojů

Fakulta: strojní

Školní rok: 1979/80

## DIPLOMOVÝ ÚKOL

pro Josefa Hanuše

obor Výrobní stroje a zařízení 23-34-8

Protože jste splnil... požadavky učebního plánu, zadává Vám vedoucí katedry ve smyslu směrnic ministerstva školství o státních závěrečných zkouškách tento diplomový úkol:

Název tématu: Uložení vysokobrátkových rotorů na vzduchovém polštáři.

## Pokyny pro vypracování:

- 1) Vypracujte studii o uplatnění uložení vysokobrátkových rotorů na vzduchovém polštáři, přičemž se zaměřte na uložení přádních rotorů u bezvřetenových dopřádacích strojů.
  - 2) Porovnejte sledovaný případ uložení se systémem Süssen.
  - 3) Výsledky řešení uplatněte v konstrukci stroje BD.
  - 4) Ekonomicky zhodnotte systémy BD u Süssen pokud jde o uložení rotoru.

Autorské právo za kri

With love & respect -

737-162-162 72 1998

1722-Vinegar Hill, N.Y., 1870-1871

20  
1980-1981

#### VYSOKÁ CENNA A TROJICE A TEXTILU

#### **• Finding Authors**

1967-1970 STUDENT AKA 5

卷之三

卷之三

Rozsah grafických laboratorních prací: Studie nového uložení komory pro bezvřetenového předení. Konstrukční výkresy rekonstruovaného vzduchového ložiska.

Rozsah průvodní zprávy:

10 stran strojopisu formátu A4

Seznam odborné literatury: Patentová a výkresová dokumentace stroje BD  
a Süssen.  
Výzkumná zpráva VŠST Z-TT-51/70

Vedoucí diplomové práce: Doc.Ing.Jaroslav Charvát, CSc

Konsultanti: Ing.Josef Ripka, CSc - VÚB Ústí nad Orlicí

Datum zahájení diplomové práce: 15.10.1979

Datum odevzdání diplomové práce: 23. 5.1980

Doc.Ing.Jaroslav Charvát, CSc

Vedoucí katedry

Doc.RNDr.Bohuslav Stříž, CSc

Děkan

v Liberci

dne

11.října

19

79

Místopřísežně prohlašuji, že jsem diplomovou práci  
vypracoval samostatně s použitím uvedené literatury.

V Liberci dne 23.5.1980

*Josef Hanuš*

**OBSAH:**

1. ÚVOD .....	3
1.1. Historie vývoje bezvřetenových dopřádacích strojů.	4
2. STUDIE O UPLATNĚNÍ ULOŽENÍ VYSOKOOBRÁTKOVÝCH ROTORŮ NA VZDUCHOVÉM POLŠTÁŘI.....	6
2.1. Přehled vývoje plynem mazaných ložisek.....	6
2.2. Použití plynem mazaných ložisek.....	7
2.3. Srovnání vlastností valivých a kluzných ložisek s ložisky mazanými plynnem.....	7
2.4. Základní typy používaných plynových ložisek.....	10
2.5. Rozdělení plynem mazaných ložisek.....	11
2.6. Teorie plynového mazání.....	13
2.7. Teorie výpočtu plynového ložiska podle E. Locha .	20
2.8. Teorie radiálního aerostatického ložiska podle N.S.Grassama a J.W.Powella.....	30
2.9. Výpočet aerostatického radiálního ložiska podle ing. Trnky.....	35
2.10. Volba materiálu ložisek mazaných plynnem a výrobně technologické požadavky.....	43
2.11. Uložení sprádných rotorů u bezvřetenových dopřádacích strojů.....	44
3. POROVNÁNÍ ULOŽENÍ SPŘÁDNÍHO ROTORU JEDNOTKY BD 200 S ULOŽENÍM ROTORU JEDNOTKY SÜSSEN.....	48
3.1. Uložení sprádního rotoru jednotky Süssen.....	48
3.2. Rozbor konstrukčního uzlu - pohon jednotky.....	50
3.3. Axiální zajištění osy rotoru jednotky Süssen....	52
4. NÁVRH, VÝPOČET A KONSTRUKCE ULOŽENÍ SPŘÁDNÍHO ROTORU NA VZDUCHOVÉM POLŠTÁŘI.....	55
4.1. Výpočet radiálního ložiska.....	55
4.2. Výpočet axiálního ložiska.....	57
4.3. Výpočet příkenu ložiska.....	59
5. EKONOMICKÉ ZHODnocení ULOŽENÍ SPŘÁDNÍCH ROTORŮ JEDNOTEK BD 200 A SÜSSEN.....	62
6. ZÁVĚR.....	66

## Použitá označení

- a - šířka nosné plochy  
b - šířka nosného pole  
 $F$  - nosná síla  
 $F_s$  - koeficient štěrbiny  
 $G_t$  - množství plynu proteklého tryskou  
 $h$  - radiální mezera v ložisku  
 $L$  - délka ložiska  
 $l_1$  - vzdálenost trysky od kraje ložiska  
 $n$  - počet trysiek  
 $d_t$  - průměr trysky  
 $C_1$  - koeficient únosnosti ložiska  
 $K_g$  - koeficient tlaku ve štěrbině  
 $C_{k_p}, C_{k_A}$  - faktory nosnosti  
 $K_z, K_n, K_t$  - charakteristická čísla  
 $M_t$  - třecí moment  
 $P_t$  - třecí výkon  
 $s$  - plocha trysky  
 $t$  - délka nosného pole  
 $p_1$  - tlak v mezere ložiska  
 $p_0$  - tlak před tryskou  
 $p_a$  - tlak atmosférický  
 $r$  - poloměr čepu  
 $c_d$  - součinitel průtoku  
 $\gamma$  - dynamická vlečnosť  
 $\rho$  - měrná hmotnost  
 $\lambda$  - ložiskové číslo  
 $\varepsilon$  - úhel jednotkové nosné plochy  
 $\lambda$  - relativní ložisková výškodnost  
 $\omega$  - úhlová rychlosť

## 1. ÚVOD

Pro růst životní úrovně obyvatelstva je důležitý rozvoj a zdejšeho výroby spotřebního zboží. Textilní průmysl v Československu se řadí mezi nejproduktivnější odvětví spotřebního průmyslu, jak co do objemu výroby, tak i vyrobeného sortimentu zboží.

V poslední době se v textilním strojírenství, které bezprostředně ovlivňuje výrobu v textilních provezech, vývoj a konstrukce zaměřily na hledání nových cest zvyšování výrobnosti strojů. V oboru přádelnického bylo prvním předpokladem nahrazení prstencového doprásadacího stroje strojem novým, který by splňoval požadavky z hlediska technologického, konstrukčního a ekonomického. Za poměrně krátkou dobu se vyvinul stroj s novou koncepcí, vznikla nová technologie výroby přízí, tzv. bezvřetenové předení. Jednou z cest zvýšení výrobnosti je i zvýšení otáček spřádních rotorů u BD strojů. Zvýšení otáček si vyžádalo použít jiného uložení rotorů. Klasické uložení na valivých ležiskách je pro další zvyšování otáček nevhodující. Jedním z možných, do budoucna perspektivních, je uložení těchto vysokoobrátkových rotorů na vzduchovém polštáři.

Cílem diplomové práce je srovnání dosavadního uložení rotorů doprásadacích strojů BD 200 a stroje Süssen a návrh nového uložení na vzduchovém polštáři pro otáčky 100 000 za minutu.

## 1.1. Historie vývoje bezvřetenových dopřádacích strojů.

Jedním z hlavních úkolů, které stojí před současným textilním strojírenstvím, je zvyšování produktivity práce a její efektivnosti zaváděním nových poloautomatických a automatických strojů. Rozvoj textilního průmyslu dal také vznik nové technologie předení, kterou nazýváme bezvřetenová technologie předení s volným koncem, označované OE.

První patent předení OE podal Samuel Williams v roce 1807 v Londýně. V roce 1872 si nechal patentovat své myšlenky Barten H. Jenks z USA. Až do roku 1955 byly podávány pouze patenty na nový způsob výroby příze. V roce 1955 předvedl Němec Julius Meimberg na výstavě textilních strojů ITMA v Bruselu první bezvřetenový dopřádací stroj, vhodný ke zpracování vlákených produktů s dlouhým staplem.

V ČSSR byl v roce 1965 vystaven na Mezinárodním strojírenském veletrhu v Brně první bezvřetenový dopřádací stroj pod označením KS 200, vyroběný ve Výzkumném ústavu bavlnářském v Ústí nad Orlicí. V šedesátých letech zaujímá ČSSR první místo ve výzkumu a vývoji bezvřetenových dopřádacích strojů.

V roce 1967 byla zahájena sériová výroba strojů ED 200 a v tomtéž roce byla uvedena do provozu první bezvřetenová přádelna na světě v Ústí nad Orlicí, vybavená 10 stroji ED 200. Současně v roce 1967 uzavřely japonské firmy DAIWA a TOYODA licenční smlouvu s ČSSR na výrobu strojů ED 200.

Od roku 1970 byl sériově vyráběn stroj ED 200 M v modifikacích M1, M2, M3 podle druhu zpracovávaných vláken. Správný rotor stroje ED 200 M dosahoval 30 000 otáček za minutu.

Od roku 1974 se vyrábí zmodernizovaný stroj ED 200 R, v modifikacích R1, R2, R3. Na stroji se objevily nové prvky, vedoucí ke zlepšení kvality napředených cívek - zapřádací

páčka, vzduchotechnický kanál pro odvod příze při výměně cívek, parafínovací zařízení.

V roce 1975 byla na ITMA v Miláně předvedena sprádní jednotka ED 200 RC. Umožňuje v ojednacovací zóně odstraňovat nečistoty z pramene vláken, s možností nastavení stupně čištění.

Stroj ED 200 S byl dalším z řady našich dopřádacích strojů vystavovaných v Miláně. Otáčky sprádného rotoru stoupaly na 60 000 za minutu. Ke stroji patří pojízdné automatické zařízení k výměně plných cívek za prázdné dutinky. Plné cívky jsou odváděny dopravníkem k paletám.

Nočnou generaci dopřádacích strojů představuje stroj ED A. Funkční model byl vystaven rovněž na ITMA 1975 v Miláně. Sprádní jednotka je vybavena automatickým zařízením k likvidaci přetrhů příze. Otáčky rotoru byly zvýšeny na 90 000 za minutu. Stroj může být vybaven pojízdným zařízením pro automatickou výměnu cívek.

Bezvřetenové dopřádací stroje řady ED 200 vyrábí koncernový podnik Elitex Ústí nad Orlicí a Elitex Červený Kostelec.

## 2. STUDIE O UPLATNĚNÍ ULOŽENÍ VYSOKOCRÁTKOVÝCH ROTORŮ NA VZDUCHOVÉM POLŠTÁŘI.

### 2.1. Přehled vývoje plynem mazaných ložisek.

Současná technická úroveň ve strojírenství klade zvyšování nároky na produktivitu práce strojů. Jedním z možných řešení je zvyšování otáček při snížení třecích ztrát, zvýšení životnosti někdy i při vysokých teplotách, při nichž nevyhovuje běžná maziva.

První pokusy s použitím vzduchu jako maziva byly provedeny v roce 1855 H. Hirnem. V roce 1897 popsal pokusy s radiálními ložisky mazanými plynem Albert Kingsbury. Roku 1913 zahajil Harrison teoretický výzkum a to přibližným řešením vzduchem mazaného ložiska nekamenné říšky, přičemž předpokládal, že děj v mazací vrstvě je izotermický. Harrisenova práce byla základem pro výzkum T. Katta a N. Soda, ti v roce 1952 vydali přibližné řešení. V roce 1957 Ford, Harnis a Pantall na pokusech dokázali, že izotermický průběh neodpovídá podmínkám vysokých rychlostí, v tomtéž roce dospěl Ausman rovněž k závěru že lépe vyhovuje průběh adiabatický. V roce 1959 vydali výsledky své práce Elrod a Burgdorfer, v níž izotermický průběh považují za pravděpodobný. Také Ausman roku 1961 použil úspěšně izotermický průběh při řešení ložiska. V Československu se vývojem a uplatněním vzduchových ložisek zabývá Státní výzkumný ústav stavby strojů v Běchovicích. Výzkumný ústav bavlnářský v Ústí nad Orlicí aplikuje poznatky SVÚSS Běchovice na uložení sprádného rotoru stroje BD 200A.

## 2.2. Použití plynem mazaných ložisek.

V důsledku stavby nových strojů a nových technologií výroby jsou nutné zvýšené požadavky na ložiska, jak co do kvality, tak co do zvýšení životnosti. V mnoha případech uložení pomocí klasický mazaných ložisek se ukazuje jako nevhodné, zvláště tam, kde se pracuje s malými výkony, například v měřicí technice. Toto uložení spotřebuje určitý výkon daný viskozitou mazacích prostředků a sestraňností valivých ložisek. Plynem mazaná ložiska se začínají prosazovat nejen v měřicích přístrojích ale i ve strojích, jako jsou kompreseory, dmychadla a čerpadla. Začínají se uplatňovat rovněž v textilním průmyslu, kde není možno použít minerálních olejů. Plynem mazaná ložiska však nemají úplně nahradit klasická ložiska, ale mají umožnit použití zvláště v oblastech vysokých rychlostí, nízkých a vysokých teplot při požadavku nízkého tření.

## 2.3. Srovnání vlastností valivých a kluzných ložisek s ložisky mazanými plynem.

### Nevýhody valivých ložisek.

- 1/ Při zvyšování otáček restou uvnitř ložiska dynamická napětí. Jejich nárůst může způsobit poškození ložiska.
- 2/ Vlivem poměrně vysoké viskozity olejů restou třecí ztráty a tím je mechanická účinnost nižší než u plynem mazaných ložisek.
- 3/ S rostoucími obvodovými rychlostmi ložisek klesá jejich životnost. V praxi se používají do obvodových rychlostí 25 metrů za sekundu činné plochy vnitřního kroužku ložiska. Při vyšších otáčkách se ložisko zahřívá, hlučí a vibruje.
- 4/ Ložiska jsou náročná na mazání a mazací techniku/ zařízení k vytvoření olejové mlhy, chladiče, čerpadla, nádrže,

potrubí apod./

- 5/ Zvýšením teploty klesá viskozita a zhoršuje se nosnost ložiska.
- 6/ Ložiskové prostory vyžadují dokonalé utěsnění před vnikáním nečistot a únikem maziva. Melze však úplně zabránit smíšení maziva s pracovní látkou stroje, nebo unikání třeba jen nepatrnému z prostoru ložisek do okolí.
- 7/ Valivá a kluzná ložiska vyžadují použití často druhých maziv.

Výhody plynem mazaných ložisek.

- 1/ Tato ložiska umožňují dosáhnout prakticky neomezených jakýchkoli obvykových rychlostí čepu při správném dimenzování průměru.
- 2/ Životnost ložisek je prakticky neomezená, protože nedochází k dotyku činných ploch čepu a pánev.
- 3/ Ztráty třením a vzniklé teplo ve vzduchové vrstvě jsou minimální.
- 4/ Ložiska nepotřebují speciální zařízení k odvedu tepla.
- 5/ S rostoucí teplotou ložiska se poněkud zvyšuje viskozita plynu a tím i nosnost plynové vrstvy.
- 6/ Malý vliv změny teploty na viskozitu plynu umožňuje použití plynového mazání při velmi nízkých i velmi vysokých teplotách ložiska.
- 7/ K mazání je nutno použít plyn neředěný, nevznikal by nosný film, nesmí být vlhký aby nekondenzoval v ložisku.

Nevýhody plynem mazaných ložisek.

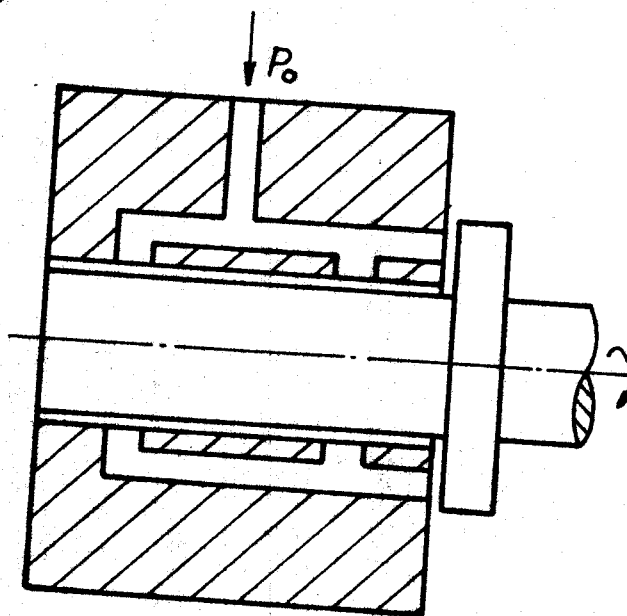
- 1/ Při výrobě čepu a pánev je třeba dodržovat vysokou přesnost souosost a radiální vúli. Nesouosost nesmí přesahovat  $0,002 + 0,003$  mm na délce ložiska. Kladeu se vysoké požadavky na válcovitost činných ploch čepu a pánev. Malá viskozita vzduchu způsobuje, že nosný film vzniká při

velkém přiblížení činných ploch čepu a pánce, tzn. při velmi malé radiální mezeře mezi nimi. Plyny nemají vlastnost mezního / polosuchého / mazání. Nelze tedy počítat s přípustnými deformacemi a vyrovnáním ložiskových plach při zabíhání, jak k tomu dochází u kluzných ložisek mazaných olejem. U víceležiskových strojů musí být ložiskové pánce samostatné. Při konstrukci je treba brát v úvahu možnost selhání mazání rázovým zatížením, nebo přetížením ložisek.

- 2/ Ložisko / čep / musí být dokonale dynamicky vyváženo.
- 3/ Dodávka plynu do ložiska musí být spolehlivá, nesmí vypadat, tlak nesmí kolísat.
- 4/ Plyn se musí před vstupem do ložiska filtrovat.
- 5/ Materiály čepu a pánce musí odolávat zadírání při dotyku činných plach, při rozběhu a doběhu čepu a při jeho nárazovém zatížení, nebo náhodných kontaktech. Temu je treba zabránit zvláště při vysokých obvodových rychlostech čepu.
- 6/ Při velmi vysokých rychlostech čepu vznikají v ložisku vibrace, zvláště při svislé ose rotace.

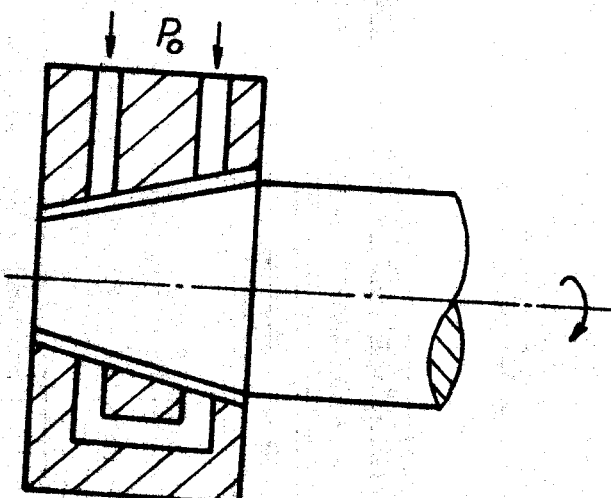
#### 2.4. Základní typy používaných plynových ložisek.

Válcové ložisko radiální a axiální. Pánev je vyrábena buď jako jednoduché pouzdro, nebo je složena z obvedových segmentů, prstenců.



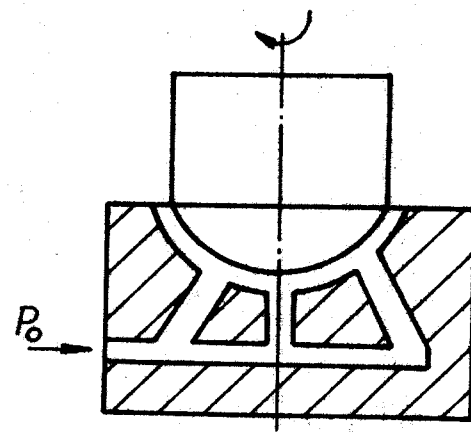
Obr. 1.

Kuželové ložisko radiálně-axiální.



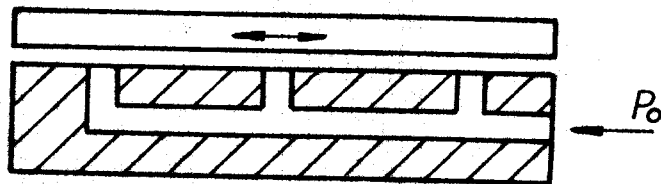
Obr. 2.

### Kulevé / patní / ložisko.



Obr. 3.

### Rovinné šoupátko.



Obr. 4.

### 2.5. Rozdělení plynem mazaných ložisek.

Ložisko mazané plynem má činné plachy čepu a pánev odděleny plynovou vrstvou. Tato vrstva svojí pružností drží plachy ložiska od sebe. Pečebně jako u kapalinného mazání, tak i u plynného vzniká noční vrstva dvojím způsobem.

### 1/ Aerodynamické plynové ložisko.

V aerodynamickém plynovém ložisku vzniká podobná nosná vrstva jaká je u kluzných ložisek. Relativní pohyb kluzných povrchů má v místě ložiskové výle sací účinek, který způsobuje nasávání mativa v místě nižšího tlaku a při excentrické poloze čepu v ložisku vytváří mezi kluznými plochami tlak v nazávící vrstvě. Tento tlak zajišťuje oddělení povrchů od sebe a tím nosnost plynové vrstvy.

Protože je viskozita plynu malá, pouze tisícina viskozity oleje, nebo asi padesátina viskozity vody, je i únosnost těchto ložisek malá. Má-li se zatížený čep v plynovém ložisku rozběhnout z klidu, být zvednut a nesen vrstvou plynu, je zatížení omezeno na  $7 + 14 \cdot 10^{-3}$  MPa průmětu ložiskové plochy, podle velikosti výle a kluzné rychlosti čepu. Jestliže je toto ložisko zatíženo za chodu, může měrné zatížení dosáhnout hodnoty  $7 \cdot 10^{-2}$  MPa.

### 2/ Aerostatické plynové ložisko.

Aerostatické ložisko se liší od aerodynamického tím, že se do něho vhání za běhu tlakový plyn.

Únosnost aerostatických ložisek závisí na praktické hranici tlaku vstupního plynu a na jeho množství. Tato ložiska se zatím použila pro měrné zatížení do  $3,5 \cdot 10^{-1}$  MPa.

Únosnost aerostatického ložiska nezávisí na relativním pohybu kluzných ploch, proto může být zatíženo již za klidu.

3/ Podskupinu tvoří ložiska aerodynamická, kombinovaná s aerostatickým rozbehem. Používají se při poměrně velkém statickém zatížení. Při dosažení dostatečně velké obvodové rychlosti běží pak ložisko po přerušení dodávky stlačeného plynu jako ložisko aerodynamické. Dají se použít do měrného zatížení  $4 \cdot 10^{-1}$  MPa.

## 2.6. Teorie plynového mazání.

Vazkost a pružnost plynu.

Důležitým a zatím nejčastěji používaným mazivem plynových ložisek je vzduch. Parametr, který je důležitý pro únosnost ložiska je vazkost nebo-li viskozita. V procesu mazání se tlak a teplota vnitřním třením vzduchu zvětšují. Závislost viskozity plynů na teplotě a tlaku není zanedbatelná.

Dynamická viskozita plynu je koeficient úměrnosti v poměru, který vyjadřuje Newtonův zákon pro tečné napětí v předpočítaném laminárním proudění vzduchu:

$$\tau_{xy} = \gamma \frac{\partial u}{\partial y}$$

Viskozity některých maziv při tlaku 0,1 MPa.

	20 °C	80 °C	$\tau_{20}/\tau_{80}$
olej	0,007 2	0,000 52	13,85
vzduch	0,000 001 84	0,000 002 12	0,867
vedík	0,000 000 89	0,000 001 01	0,88

tab. 1

Závislost viskozity vzduchu na teplotě.

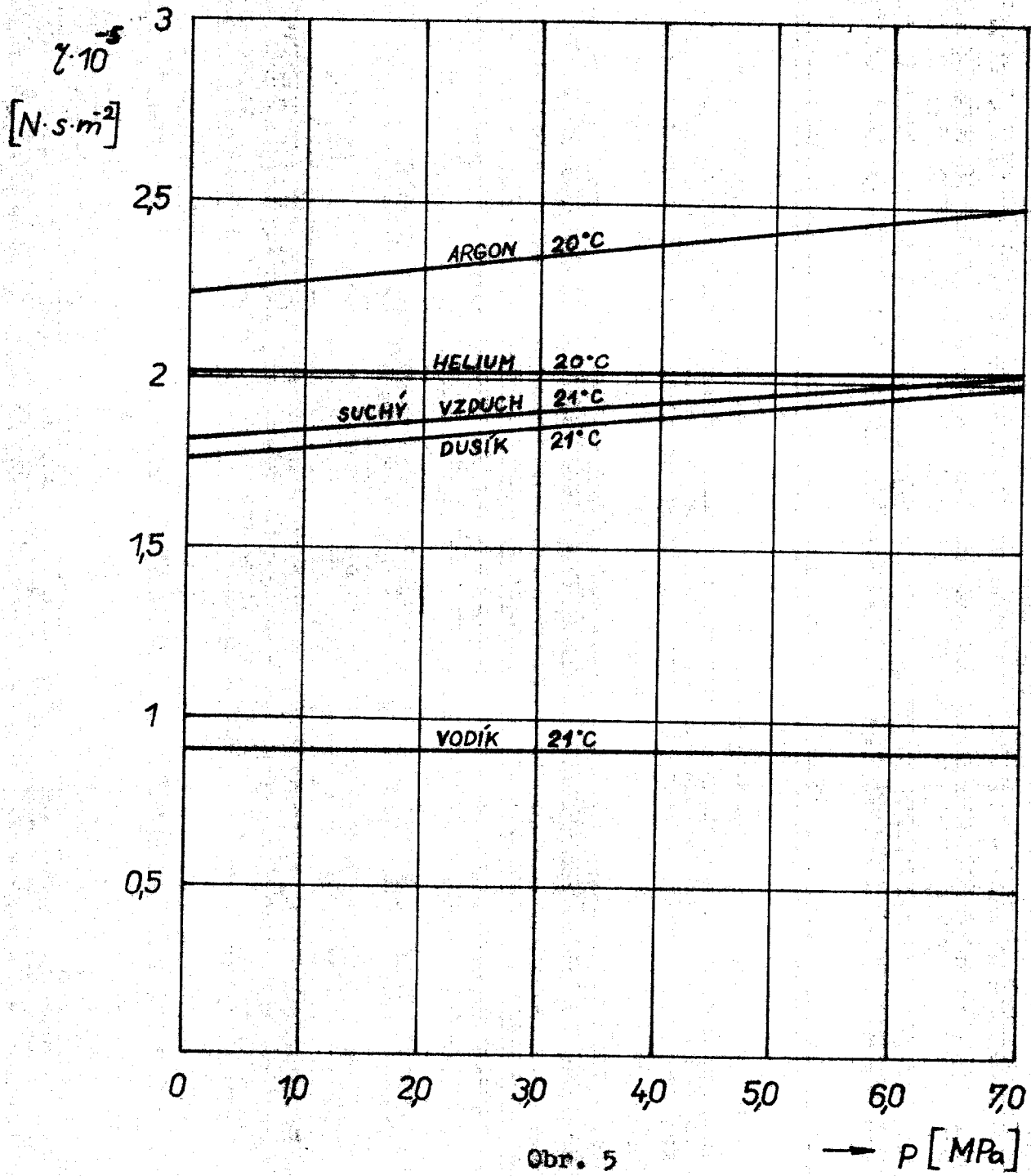
t / °C /	-109	-69	-32	0	21	40	74
$\gamma \cdot 10^{-5}$ / Ns · m /	1,15	1,36	1,6	1,7	1,8	2	2,14

tab. 2

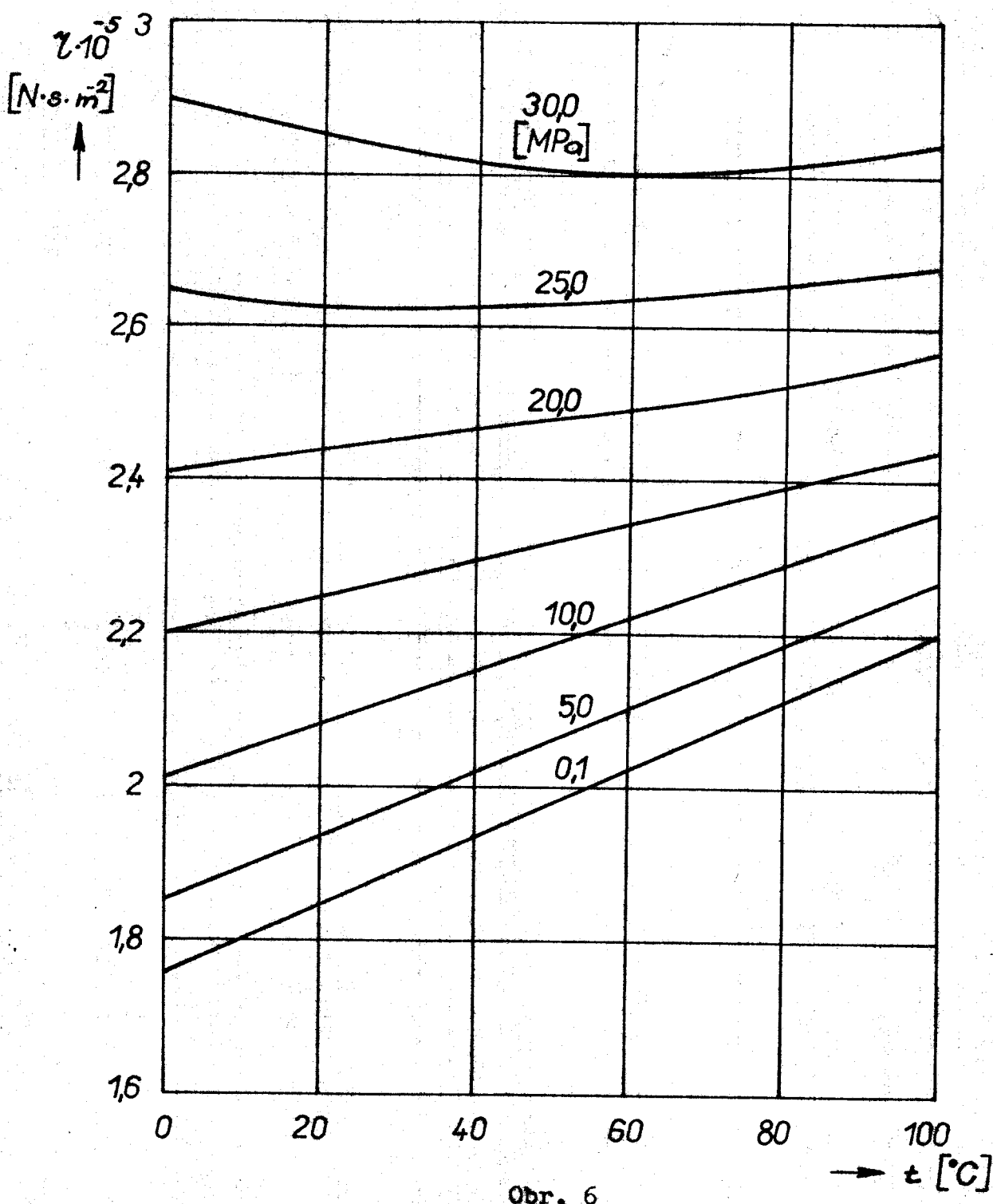
Závislost viskozity vzduchu na tlaku.

p / MPa /	0,1	5	10
$\gamma \cdot 10^{-5}$ / Ns · m /	1,8	1,86	1,99

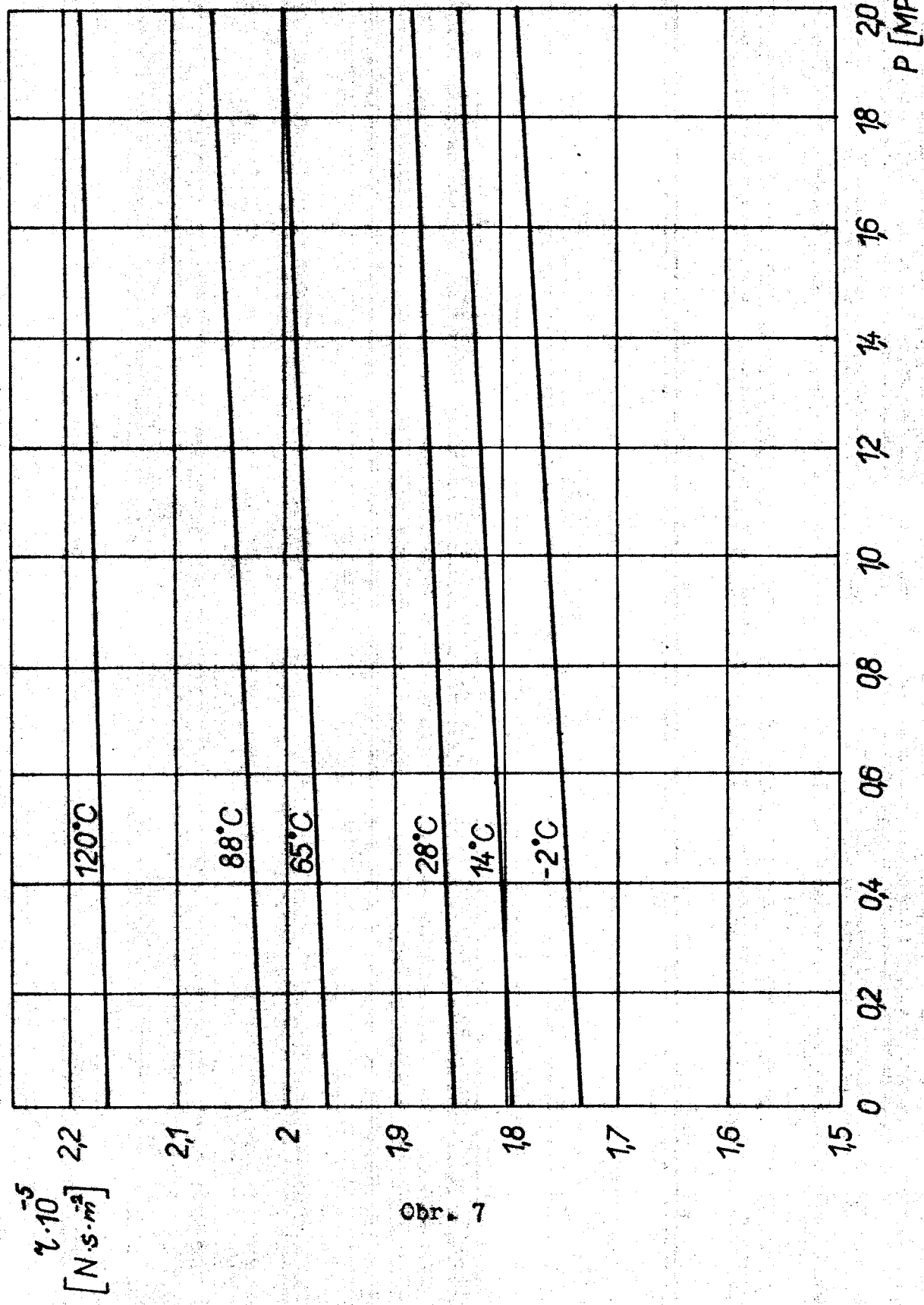
tab. 3



Obr. 5



Obr. 6



Při mazání plyny se obyčejně používá tlaku maximálně do 10 MPa. Z obr. 5 je vidět, že viskozita prakticky nezávisí na tlaku. Při průchodu vzduchu ložiskem dochází jen k malému ohřevu a proto můžeme předpokládat i konstantní viskozitu v závislosti na rostoucí teplotě. Vzduch se v ložisku ohřívá nepatrně, lze tedy celý děj považovat za izotermický, z toho plyne poměr  $\frac{\rho}{\rho_0} = \text{konst.}$

Izotermická teorie plynového mazání byla potvrzena jak teoreticky tak i prakticky u různých typů ložisek. Východiskem pro teorii mazání a sledování tlakových poměrů v ložisku je Reynoldsova rovnice. Lze ji sestavit pro tři režimy proudění plynu:

- a/ laminární proudění se setrvačnými silami
- b/ laminární proudění bez setrvačných sil
- c/ turbulentní proudění,

prudění v ložisku se jeví jako laminární bez setrvačných sil. Rozložení tlaků se vypočte z rovnic rovnováhy normálních tlaků a napětí vazkého tření.

Je-li Reynoldsovo číslo větší než 550, je proudění turbulentní

$$R_e = \frac{\rho \cdot h \cdot c}{\gamma}$$

$\rho$  - měrná hmotnost plynu

$h$  - rozměr mezery ložiska

$c$  - rychlosť

$\gamma$  - viskozita plynu.

První předpoklad teorie mazání plynem:

Je-li poměr  $\frac{\rho h^2 c}{\gamma \cdot l} \ll 1$        $l$  - charakteristický rozměr

pak můžeme setrvačné členy / délka / ložiska

v Navier - Stokesově rovnici zanedbat.

Druhý předpoklad teorie mazání plynem.

Napětí  $\tau_{xz}$  můžeme ve srovnání s napětími  $\tau_{xy}$  a  $\tau_{yz}$  zanedbat.

$$\tau_{xy} = \gamma \frac{\partial u}{\partial y} \quad \tau_{yz} = \gamma \frac{\partial w}{\partial z}$$

Třetí předpoklad teorie mazání plynem.

Hmotové síly se v teorii mazání neuvažují.

Čtvrtý předpoklad teorie mazání plynem.

Teplota vzduchu je konstantní. Bylo dokázáno, že izotermická teorie přesně popisuje proces mazání.

Odrození Reynoldsovy rovnice.

Obecné řešení plynem mazaných ložisek vychází ze základních nelineárních diferenciálních rovnic pro rovnováhu elementární částice.

Navier - Stokesova rovnice:

$$\rho \frac{du}{dt} = \rho X - \frac{\partial p}{\partial x} + \gamma \cdot \nabla^2 c + \frac{1}{3} \cdot \gamma \frac{\partial \Delta}{\partial x} \quad \dots (1)$$

$$\rho \frac{dv}{dt} = \rho Y - \frac{\partial p}{\partial y} + \gamma \cdot \nabla^2 v + \frac{1}{3} \cdot \gamma \frac{\partial \Delta}{\partial y}$$

$$\rho \frac{dw}{dt} = \rho Z - \frac{\partial p}{\partial z} + \gamma \cdot \nabla^2 w + \frac{1}{3} \cdot \gamma \frac{\partial \Delta}{\partial z}$$

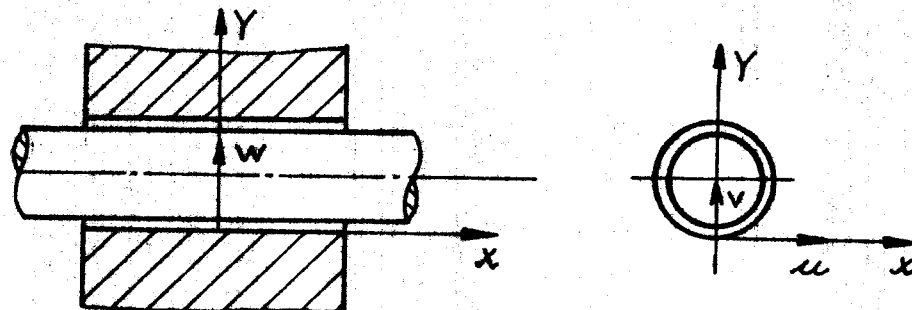
kde  $\nabla^2 = \frac{\partial^2}{\partial x^2} + \frac{\partial^2}{\partial y^2} + \frac{\partial^2}{\partial z^2}$

$$\Delta = \frac{\partial u}{\partial x} + \frac{\partial v}{\partial y} + \frac{\partial w}{\partial z}$$

Použijeme-li první tři předpoklady v rovnici Navier-Stokesové dostaneme:

$$1, \frac{\partial p}{\partial x} = \gamma \frac{\partial^2 u}{\partial z^2} \quad 2, \frac{\partial p}{\partial z} = \gamma \frac{\partial^2 w}{\partial z^2} \quad 3, \frac{\partial p}{\partial y} = 0$$

Třetí vztah říká, že tlak není závislý na výšce plynové vrstvy, je funkcií souřadnic  $x$ ,  $y$ ,  $z$  a času. Integrujeme-li první dva výrazy s použitím okrajových podmínek, které říkají, že rychlosť častic plynu, které se dotykalí povrchu čepu je stejná jako rychlosť čepu ložiska.



Obr. 8

- $u_2$  - složka rychlosťi vrchní časti plynové vrstvy do osy  $x$
- $u_1$  - složka rychlosťi spodní časti vrstvy do osy  $x$
- $w_2$  - složka rychlosťi vrchní časti vrstvy do osy  $z$
- $w_1$  - složka rychlosťi spodní časti vrstvy do osy  $z$

po integraci dostaneme:

$$u = \frac{1}{2\gamma} \frac{\partial p}{\partial x} y (y-h) + \frac{u_2 - u_1}{h} y + u_1$$

$$w = \frac{1}{2\gamma} \frac{\partial p}{\partial z} y (y-h) + \frac{w_2 - w_1}{h} y + w_1$$

Integrujeme-li oba výrazy po tloušťce vrstvy  $h$ , dostaneme objem plynu, který proteče mezerou o tloušťce  $h$  a jednotkové říčce:

$$q_x = - \frac{h^3}{12\gamma_0} \frac{\partial p}{\partial x} + \frac{u_2 + u_1}{2} h$$

$$q_z = - \frac{h^3}{12\gamma_0} \frac{\partial p}{\partial z} + \frac{w_2 + w_1}{2} h$$

kde  $\gamma_0$  je střední dynamická viskozita vyjádřená rovnicí:

$$\frac{1}{\gamma_0} \int_0^h y (y-h) dy = \int_0^h \frac{(y-h)y}{\gamma(x, y, z, t)} dy$$

Použitím tohoto předpokladu k vyjádření hmotového proudu můžeme zvolit  $\beta_0$ , které vyhovuje rovnicí:  $q_x = q_x \cdot \beta_0$ ;  $q_z = q_z \cdot \beta_0$

zvolíme funkci  $m = \int_0^l \rho dy$  dosadíme za  $g_x$  a  $g_z$  a hmotnost m do rovnice kontinuity

$$\frac{\partial m}{\partial t} + \frac{\partial g_x}{\partial x} + \frac{\partial g_z}{\partial z} = 0$$

dostaneme obecnou Reynoldsovou rovnici:

$$\begin{aligned} \frac{\partial}{\partial x} \left( \frac{\rho_0 h^3}{\gamma_0} \frac{\partial p}{\partial x} \right) + \frac{\partial}{\partial z} \left( \frac{\rho_0 h^3}{\gamma_0} \frac{\partial p}{\partial z} \right) &= 12 \frac{\partial u}{\partial t} + \\ + 6 \left\{ \frac{\partial}{\partial x} [\rho_0 h (u_2 + u_1)] + \frac{\partial}{\partial z} [\rho_0 h (w_2 + w_1)] \right\} &\dots (2) \end{aligned}$$

Použijeme předpoklady:

- 1/ viskozita se v procesu mazání nemění
- 2/ uvažujeme ideální plyn, pro nějž platí použijí-li se tyto předpoklady, získáme izotermickou rovnici Reynoldsovu:

$$\begin{aligned} \frac{\partial}{\partial x} (p \cdot h^3 \frac{\partial p}{\partial x}) + \frac{\partial}{\partial z} (p \cdot h^3 \frac{\partial p}{\partial z}) &= 12 \gamma \frac{\partial (p \cdot h)}{\partial t} + \\ + 6 \gamma \left\{ (u_2 + u_1) \frac{\partial (p \cdot h)}{\partial x} + (w_2 + w_1) \cdot \frac{\partial (p \cdot h)}{\partial z} \right\} &\dots (3) \end{aligned}$$

protože se během pohybu povrchy nedeformují, musí platit:

$$\frac{\partial}{\partial x} (u_2 + u_1) + \frac{\partial}{\partial z} (w_2 + w_1) = 0$$

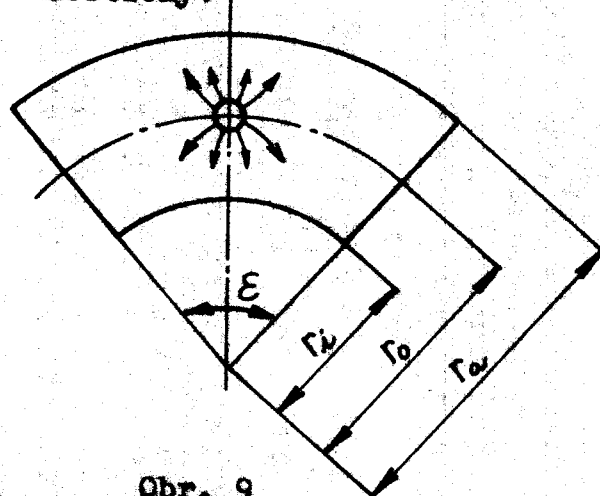
## 2.7. Teorie výpočtu plynového ložiska podle E. Locha.

Aerostatická ložiska se mohou pro výpočet nahradit více jednotkovými nosnými poli /JNP/.

Zavedené předpoklady:

- 1/ Ložisková výška je konstantní pro celé jednotkové nosné pole.
- 2/ Proudění v ložisku je laminární.
- 3/ Změna stavu během proudění v mezeře je izotermní.
- 4/ Vzduch považujeme za ideální plyn.
- 5/ Dynamické účinky proudu vzduchu se zanedbávají.

6/ Přívodní části k ložisku jsou protékány vzduchem adiabaticky.



$\varepsilon$  - úhel jednotkové nosné plochy

Obr. 9

Nosná síla pole:  $F = (C \cdot p_1 - p) \cdot S$        $S$  - plocha pole ... (4)

$C$  je faktor nosnosti pro přívod vzduchu tryskou

$$C = C_{\infty} \cdot \sqrt{\frac{p_2}{p_1}} = C_{\infty} \cdot f$$

$C_{\infty}$  - faktor nosnosti pro radiální proudění vzduchu štěrbinou

$$C_{\infty} = \frac{(C_{KA} + C_{KI} \cdot \frac{P_2}{P_1})}{1 - \left(\frac{P_2}{P_1}\right)^2}$$

$r_i$  - vnitřní poloměr jednotkové nosné plochy

$r_o$  - vnější poloměr nosné plochy

$C_{KA}$  - faktor nosnosti při proudění

$C_{KI}$  - faktor nosnosti při proudění

faktory  $C_{KA}$  a  $C_{KI}$  se určí z tabulek obr. 15, 16

$$f = \sqrt{\frac{P_2}{P_1}} = \sqrt{1 - [1 - \left(\frac{P_2}{P_1}\right)^2] \frac{1}{1 + \alpha_d}}$$

pro trysku ústící přímo do mezery:

$$\alpha_d = \frac{0.5 \cdot \ln K}{\ln \frac{V \cdot d}{2 \cdot r_o}}$$

$$K = \ln \left( \frac{r_o}{r_i} \right)$$

plocha nosného pole

$r_o$  - poloměr, na kterém jsou přivední trysky

$\alpha_d$  - průtokový součinitel

$$S = \frac{\pi \cdot \varepsilon (r_o^2 - r_i^2)}{360}$$

$\varepsilon$  - úhel nosné plochy

... (5)

množství plynu, které protéká štěrbinou

$$G_s = G_{s\infty} \cdot \sqrt{\frac{\left(\frac{p_s}{p_a}\right)^2 - 1}{\left(\frac{p_i}{p_a}\right)^2 - 1}} = G_{s\infty} \cdot \sqrt{\frac{L_d}{1 + L_d}}$$

množství plynu proteklé jednotkovou nosnou plochou

$$G_{s\infty} = \frac{\pi \cdot \epsilon \cdot k \cdot (p_i^2 - p_o^2)}{4320 \cdot \gamma \cdot R \cdot T} \cdot \left[ \frac{1}{\ln\left(\frac{p_a}{p_o}\right)} + \frac{1}{\ln\left(\frac{p_o}{p_i}\right)} \right] \quad \dots (6)$$

R - plynová konstanta vzduchu

T - absolutní teplota plynu

Parametry:  $K^* = \pi \cdot \frac{\epsilon}{360}$

$$K = \ln \frac{p_a}{p_i}$$

pro  $\frac{K^*}{K} > 0$

nebo  $\frac{K}{K^*} < 0,5$

$$\text{je } V = \frac{180}{\epsilon}$$

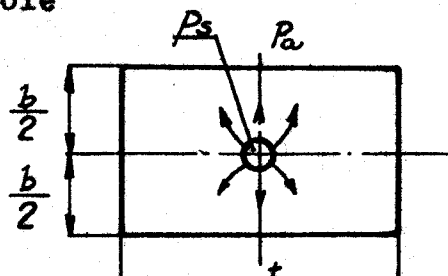
V - počet nosných polí na přímý úhel  $180^\circ$

$$TK = \frac{2}{\frac{(\pi \cdot K)}{4 \cdot K^*}}$$

$$L_d = \frac{\ln 2 - \frac{\pi}{4} \cdot K^*}{\ln \frac{V \cdot d}{2 \cdot r_0}}$$

po dosazení bude:

Pravoúhlé jednotkové nosné pole je zvláštní případ kruhového nosného pole



Obr. 10

b - šířka jednotkového nosného pole

t - délka pole

p<sub>a</sub> - atmosferický tlak

parametry:  $K^* = \frac{t}{2}$

$$K = b$$

nosná plocha:  $S = b \cdot t$

nosná síla:  $F = (C_{D_1} - C_D) \cdot S$

faktor nosnosti pro přívod vzduchu:  $C = C_{\infty} \cdot f$

$$C_{\infty} = \frac{2}{3} \cdot \frac{1 - \left(\frac{\rho_a}{\rho_1}\right)^3}{1 - \left(\frac{\rho_a}{\rho_1}\right)^2}$$

pro  $\frac{K^*}{K} > 0$  nebo  $\frac{K}{K^*} < 0,5$

platí:  $L_d = \frac{\ln 2 - \frac{\pi}{2} \frac{b}{t}}{\ln \frac{d}{t}}$  d - průměr trysky

proteklé množství vzduchu vypočteme:

$$G_s = G_{s\infty} \frac{L_d}{1 + L_d} \quad G_{s\infty} = \frac{\epsilon \cdot \lambda^3 (\rho_1^2 - \rho_a^2)}{6 \cdot b \cdot \gamma \cdot R \cdot T} \quad ..(7)$$

Ložiskové číslo jednotkového nosného pole

Pro výpočet aerostatických nosných polí máme k dispozici hodnoty: p<sub>0</sub> - tlak před tryskou

p<sub>a</sub> - tlak atmosferický

$\lambda$  - tloušťka ložiskové mezery

Tlak p<sub>1</sub> v mezere mezi čepem a pouzdrem lze zjistit pomocí ložiskového čísla  $\lambda$ .

Prudění vzduchu tryskou považujeme za adiabatické, pak proteklé množství tryskou

$$G_t = C \cdot S \cdot \rho_0 \left[ \frac{2x}{R \cdot T} \frac{x}{x-1} \left[ \left(\frac{\rho_1}{\rho_0}\right)^{\frac{2}{x}} - \left(\frac{\rho_1}{\rho_0}\right)^{\frac{x+1}{x}} \right] \right] \quad ..(8)$$

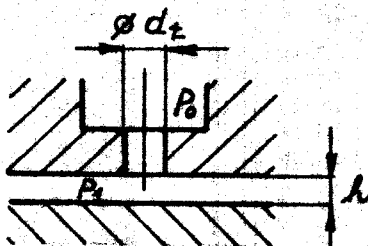
C - výtokový součinitel (0,7 + 0,9)

s - průřez trysky

Průtočné množství protékající ložiskovou mezerou musí být rovno množství, které proteče tryskou - tedy:  $G_s = G_t$

ložiskové číslo  $\lambda$  závisí na a/ tvaru trysky

b/ na tlaku  $p_a$  a  $p_s$



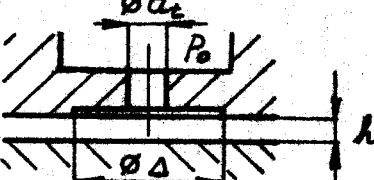
Obr. 11

pro nerovnost  $4 \cdot h < d_t$  platí  $s = \pi \cdot d_t \cdot h$   
ložiskové číslo:

$$\lambda = \frac{t \cdot p_a \cdot h^2}{6 \cdot \pi \cdot b \cdot c \cdot d_t \cdot \gamma \cdot 12 \cdot g \cdot R \cdot T} \cdot \sqrt{\frac{c_d}{1 + c_d}}$$

pro  $4 \cdot h > d_t$  platí  $s = \frac{\pi \cdot d_t^2}{4}$

$$\lambda = \frac{2 \cdot t \cdot p_a \cdot h^3}{3 \cdot \pi \cdot b \cdot c \cdot d_t^2 \cdot \gamma \cdot 12 \cdot g \cdot R \cdot T} \cdot \sqrt{\frac{c_d}{1 + c_d}}$$



Obr. 12

pro  $4 \cdot h \cdot \Delta > d_t^2$  platí  $s = \frac{\pi \cdot d_t^2}{4}$

$$\lambda = \frac{2 \cdot t \cdot p_a \cdot h^3}{3 \cdot \pi \cdot b \cdot c \cdot d_t^2 \cdot \gamma \cdot 12 \cdot g \cdot R \cdot T} \cdot \sqrt{\frac{c_d}{1 + c_d}}$$

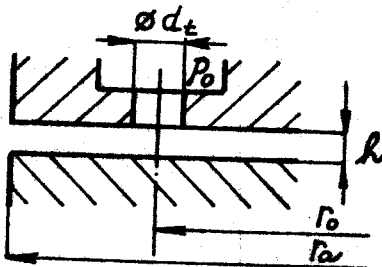
pro:  $4 \cdot h \cdot \Delta < d_t^2$  je  $s = \pi \cdot \Delta \cdot h$

$$\lambda = \frac{c \cdot p_a \cdot h^2}{2160 \cdot \Delta \cdot c \cdot \gamma \cdot 12 \cdot g \cdot R \cdot T \cdot \ln \frac{r_a}{r_o}} \cdot \sqrt{\frac{c_d}{1 + c_d}}$$

Axiální ložiska:

pro  $4 \cdot h < d_t$  je  $s = \pi \cdot d_t \cdot h$

$$\lambda_L = \frac{E \cdot p_a \cdot h^2}{2160 \cdot c \cdot d_t \cdot \gamma \cdot [2 \cdot g \cdot R \cdot T] \cdot \ln \frac{r_a}{r_0}} \cdot \sqrt{\frac{L_d}{1 + L_d}}$$



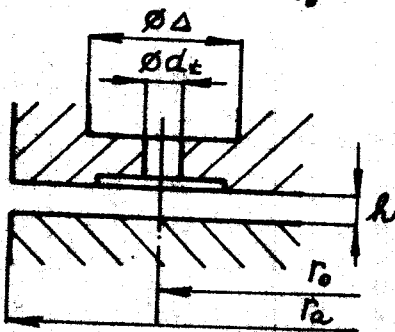
pro  $4 \cdot h > d_t$  je  $s = \frac{\pi \cdot d_t^2}{4}$  Obr. 13

$$\lambda_L = \frac{E \cdot p_a \cdot h^3}{540 \cdot c \cdot \gamma \cdot d_t^2 \cdot [2 \cdot g \cdot R \cdot T] \cdot \ln \frac{r_a}{r_0}} \cdot \sqrt{\frac{L_d}{1 + L_d}}$$

$\epsilon$  - úhel jednotkové nosné plochy

pro  $4 \cdot h \cdot \Delta > d_t^2$  je  $s = \frac{\pi \cdot d_t^2}{4}$

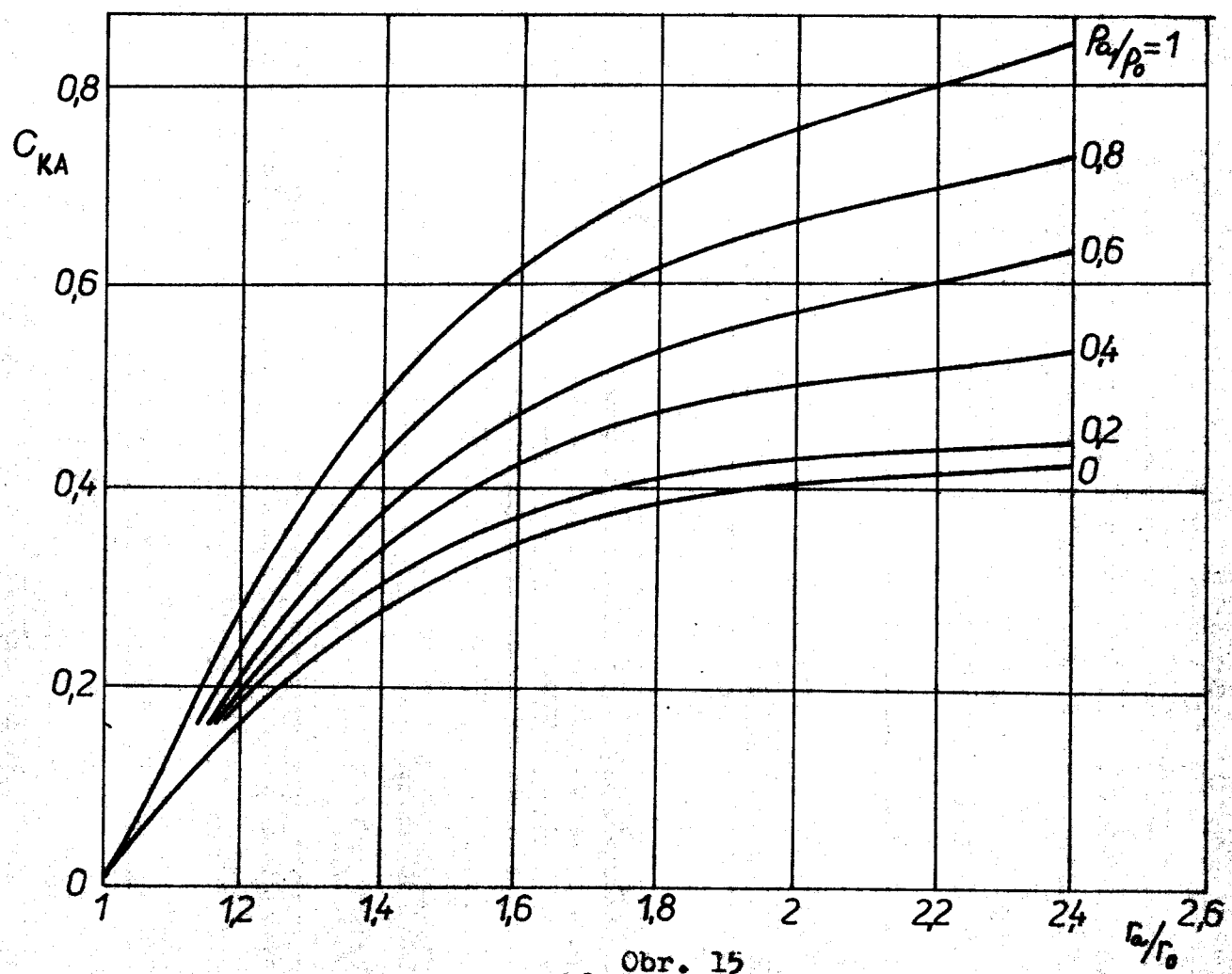
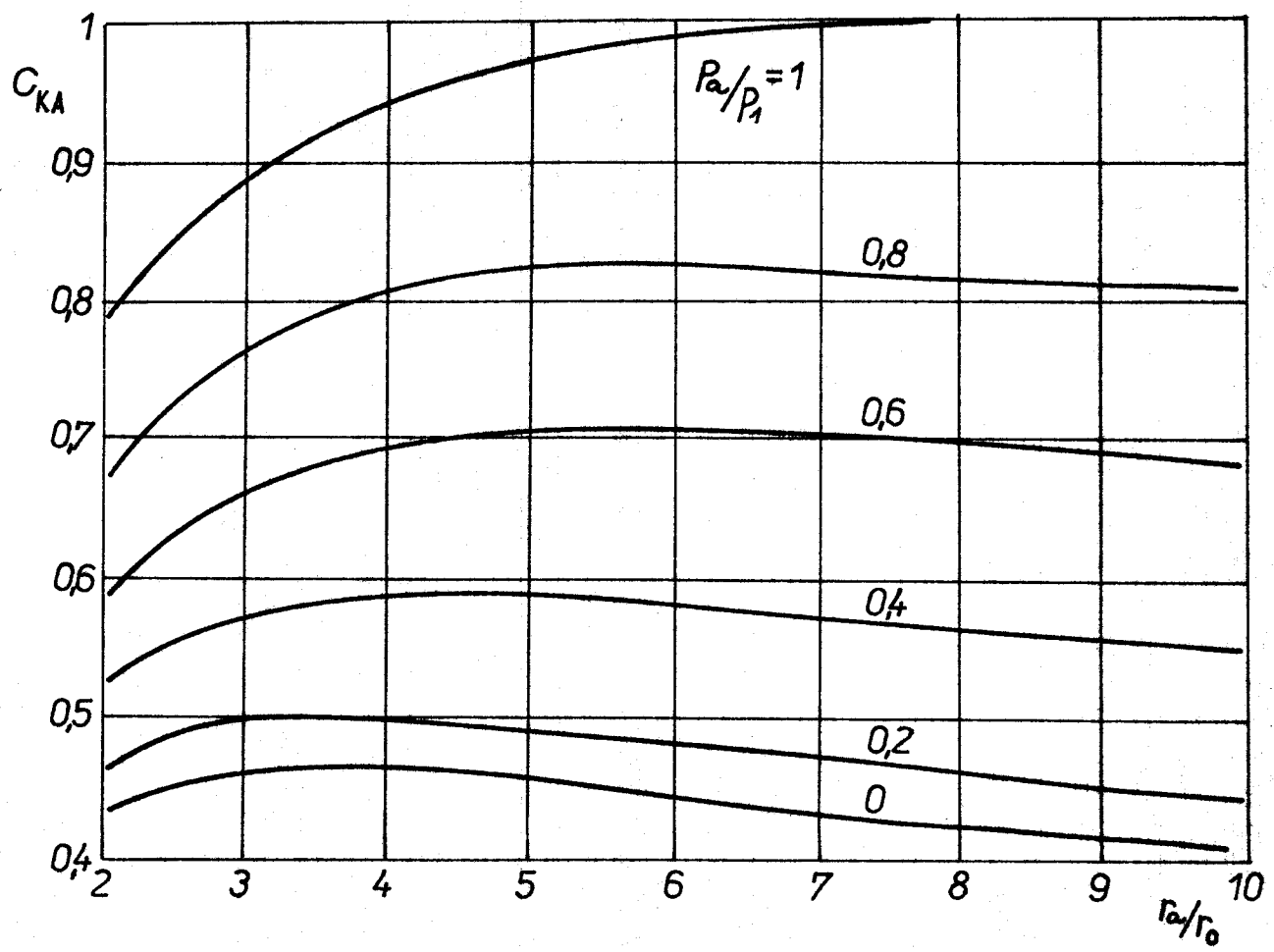
$$\lambda_L = \frac{E \cdot p_a \cdot h^3}{540 \cdot c \cdot \gamma \cdot d_t^2 \cdot [2 \cdot g \cdot R \cdot T] \cdot \ln \frac{r_a}{r_0}} \cdot \sqrt{\frac{L_d}{1 + L_d}}$$



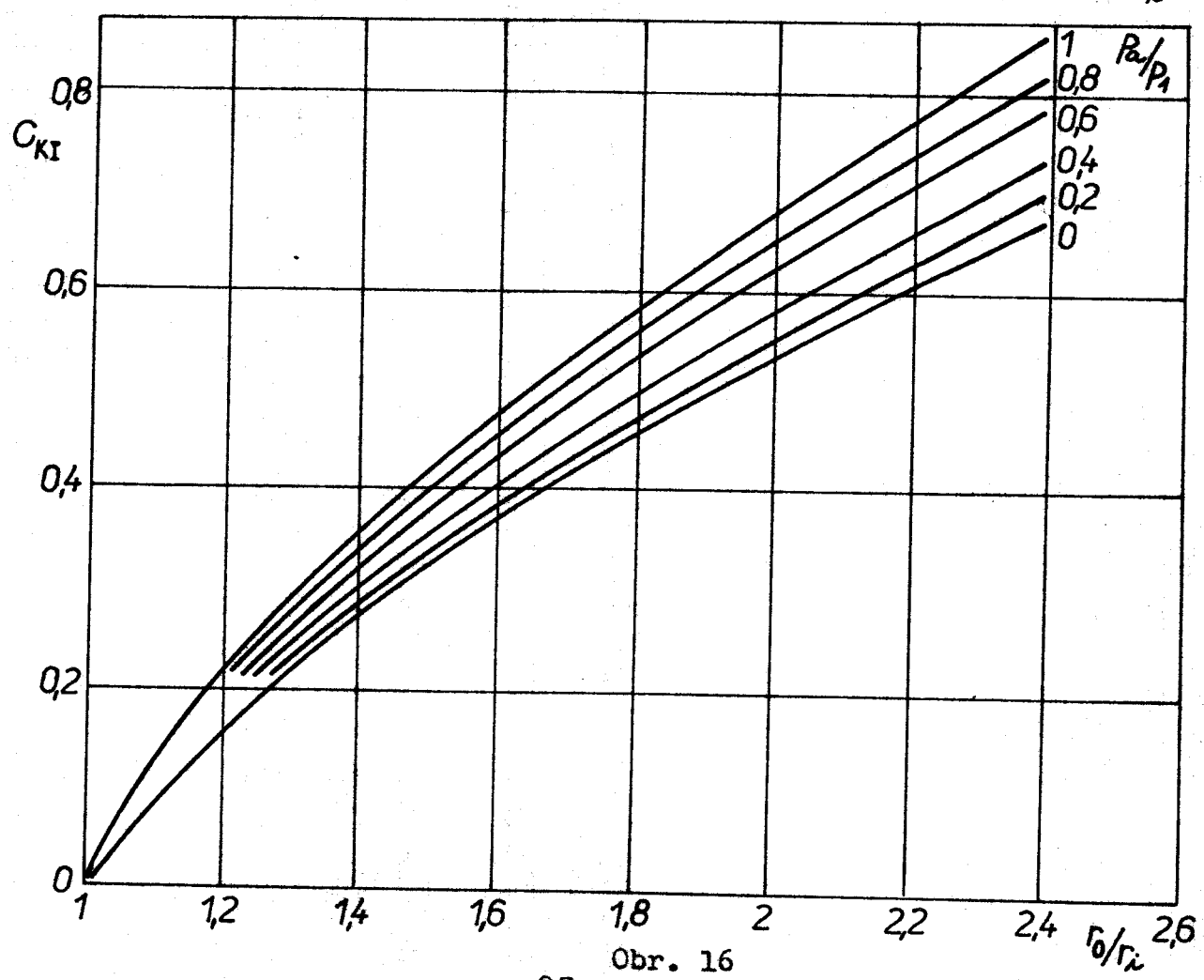
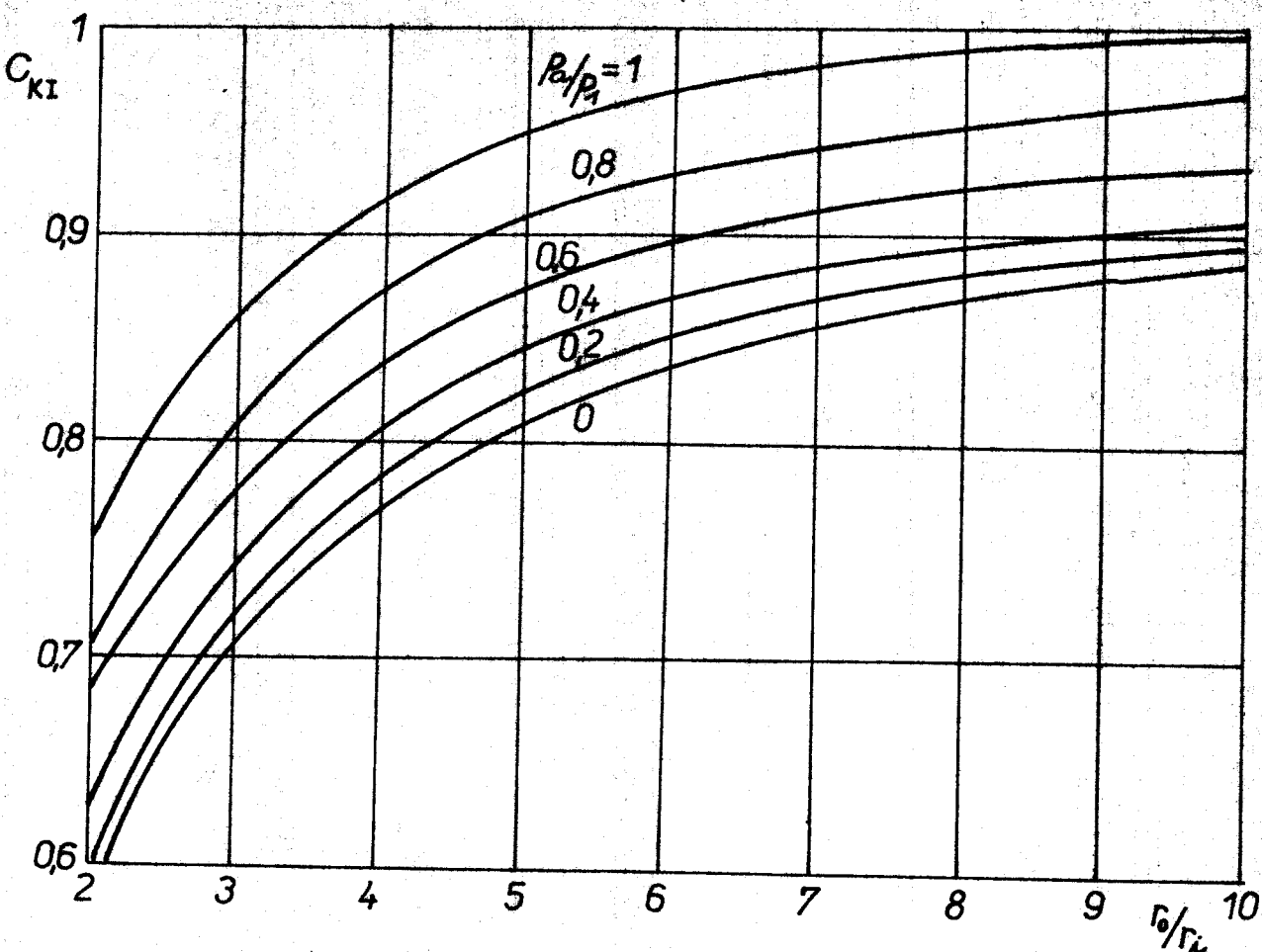
Obr. 14

pro  $4 \cdot h \cdot \Delta < d_t^2$  je  $s = \pi \cdot \Delta \cdot h$

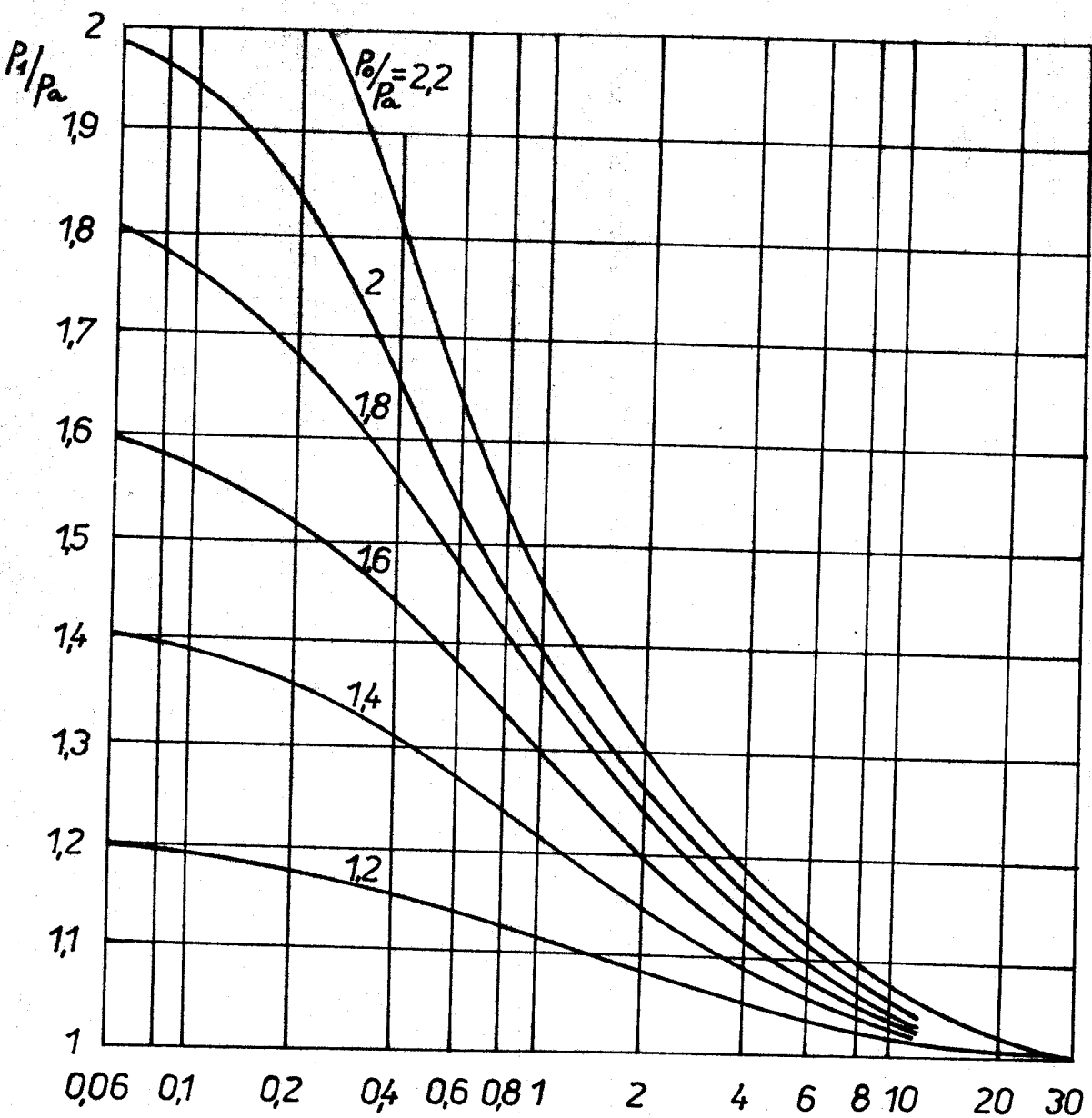
$$\lambda_L = \frac{E \cdot p_a \cdot h^2}{2160 \cdot \Delta \cdot c \cdot \gamma \cdot [2 \cdot g \cdot R \cdot T] \cdot \ln \frac{r_a}{r_0}} \cdot \sqrt{\frac{L_d}{1 + L_d}}$$



Obr. 15

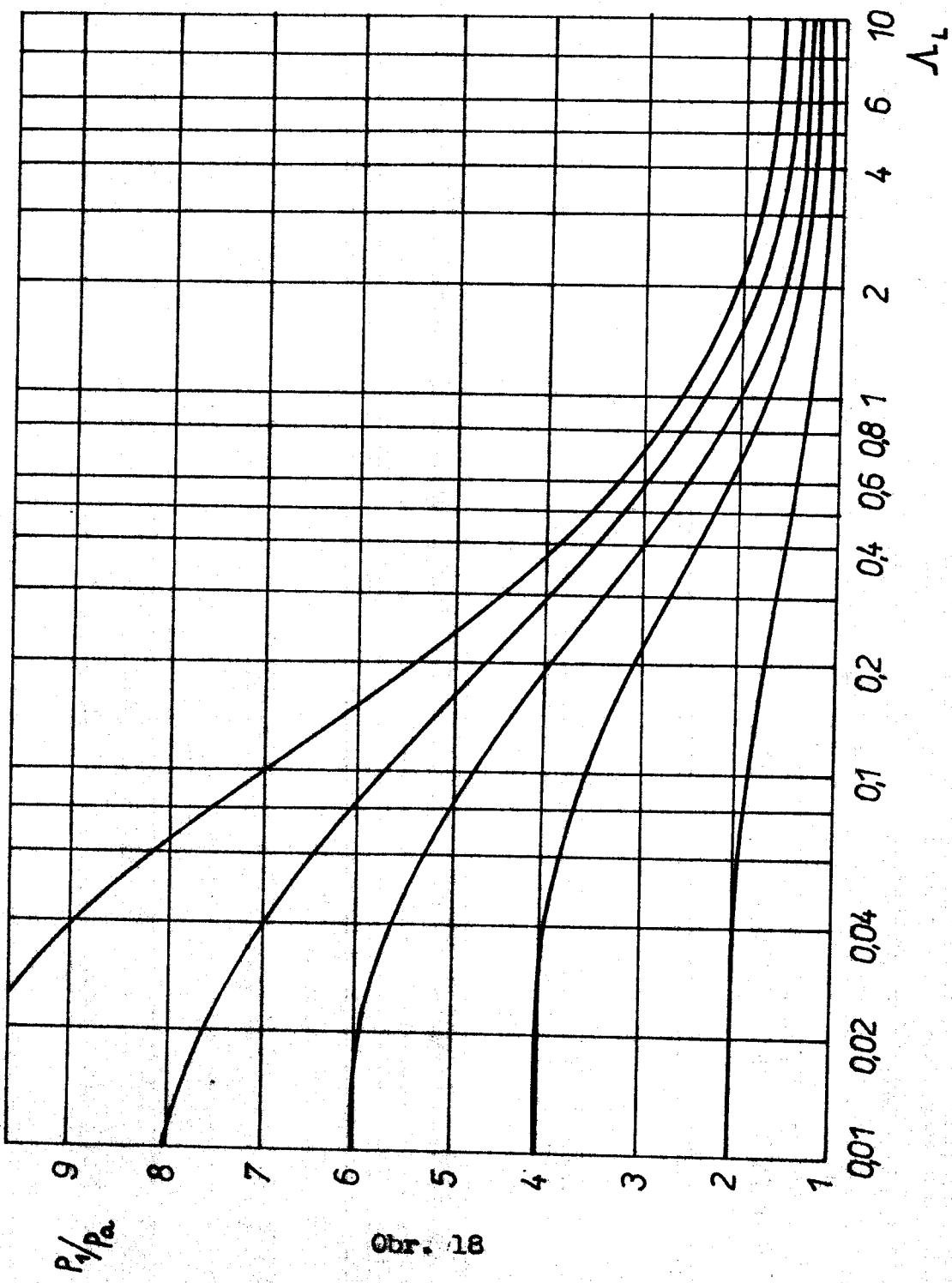


Obr. 16

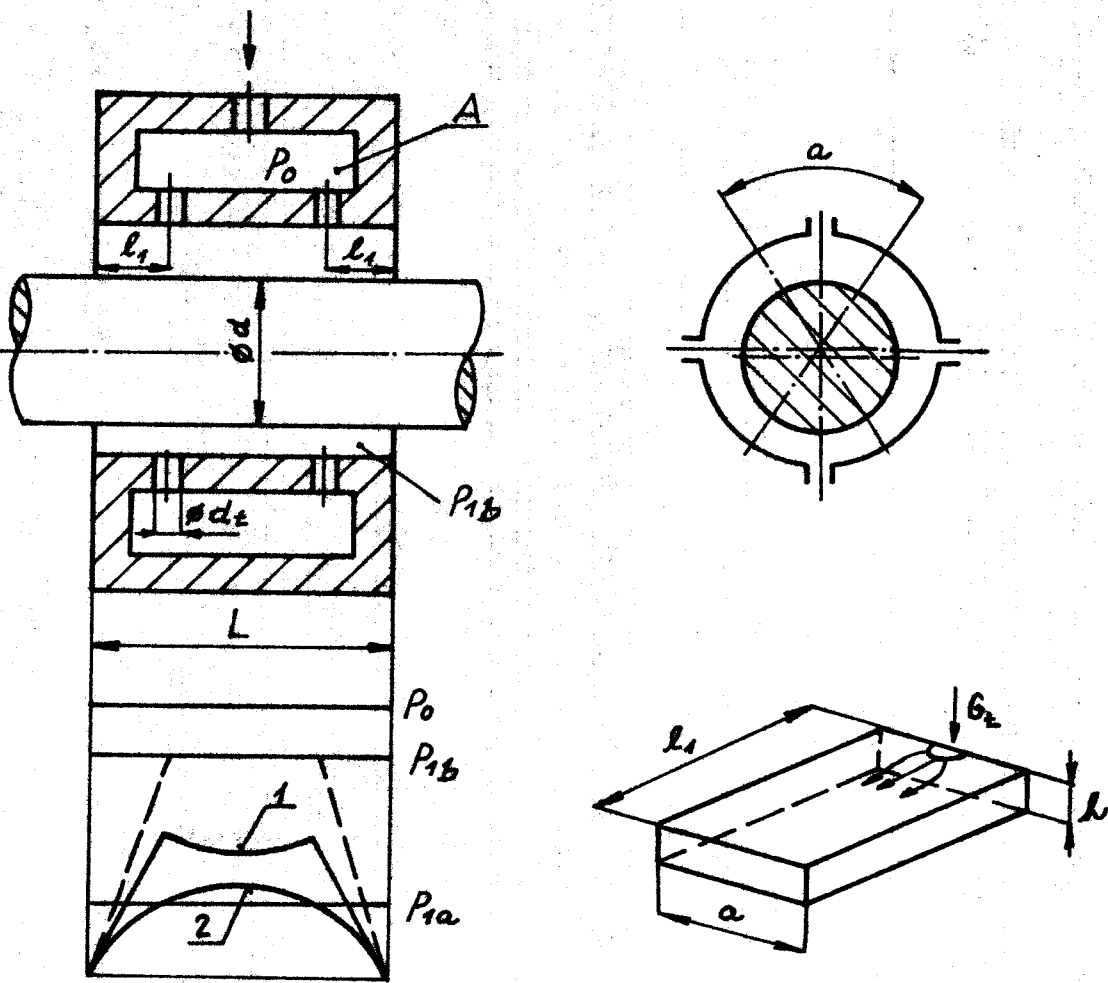


Obr. 17

$\Lambda_L$



2.8. Teorie radiálního aerostatického ložiska podle  
M. S. Grassama a J. W. Powella



Obr. 19

- 1 - průběh tlaku v horní části ložiska
- 2 - průběh tlaku v dolní části ložiska
- skutečné rozložení tlaku v mezeře ložiska
- - - teoretické rozložení tlaku v mezeře ložiska podle teorie osového proudění

Plyn proudí do drážky A, která je v tělese ložiska po celém obvodě, z ní proudí plyn tryskami do mezery mezi hřídel a pouzdro. V mezeře vytváří nosnou vrstvu a uniká do atmosféry.

sféra. Při zatížení ložiska v zužující se mezere aerodynamický odpor vzniká. Tím vzniká nosná síla, která umožňuje chod ložiska.

#### Model osového proudění.

V matematickém řešení je zužující se mezera nahrazena hranolovitými štěrbinami, každá přísluší jedné trysce.

#### Rozměry ekvivalentní štěrbiny

$$\text{šířka } a = \frac{\pi \cdot D}{n}$$

$n'$  - počet trysek

délka  $l_1$  je vzdálenost trysky od kraje ložiska

výška  $h$  je výška místní mezery, která odpovídá poloze trysky na obvodu pouzdra

U matematického modelu osového proudění v prostoru mezi dvěma tryskami je tlak konstantní  $p_1$ . Po sečtení všech vertikálních složek vztahových sil od všech štěrbin dostaneme sílu závisou na rozměrech ložiska, vlastnostech plynu, tlaku a výstřednosti.

$$F = C_1 \cdot L \cdot D \cdot (p_0 - p_a)$$

$C_1$  - koeficient únosnosti ložiska

vztah podle Robinsona pro sudý počet trysek

$$C_1 = 2 \cdot \sin \frac{\pi}{n'} \left( 1 - \frac{3l_1}{3L} \right) \left[ K_{g_1} \cdot \cos \frac{\pi}{n'} + K_{g_2} \cdot \cos \frac{3\pi}{n'} + \dots + K_{g_{\frac{n'}{2}}} \cos \left( \pi - \frac{\pi}{n'} \right) \right]$$

$n'$  - počet trysek..(9)

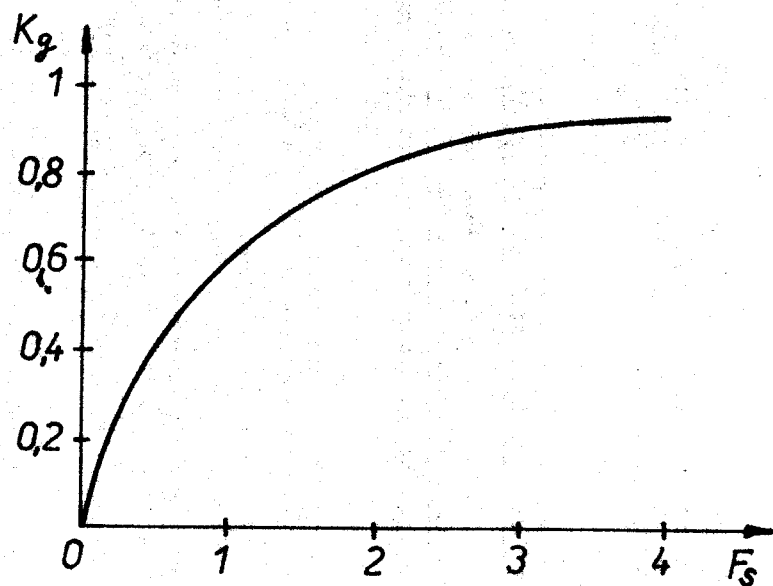
#### Koeficient tlaku ve štěrbině

$$K_g = \frac{p_1 - p_a}{p_0 - p_a}$$

K výpočtu únosnosti ložiska je třeba znát koeficient tlaku  $K_g$  ve štěrbině pro každou ekvivalentní štěrbinu. Koeficient štěrbiny  $F_a$  získáme, porovnáme-li proteklé množství plynu tryskou a ekvivalentní štěrbinou.

$$F_a = \frac{\frac{p_a}{p_0}}{\sqrt{(1 - \frac{p_a}{p_0}) \cdot (1 + \frac{p_a}{p_0})}} \cdot \frac{24 \cdot \gamma \sqrt{2 \cdot g \cdot R \cdot T}}{p_a \cdot g} \cdot \frac{l_1 \cdot a \cdot s}{a \cdot h^3}$$

$\omega$  - výtokový koeficient  
 $a$  - plocha trysky

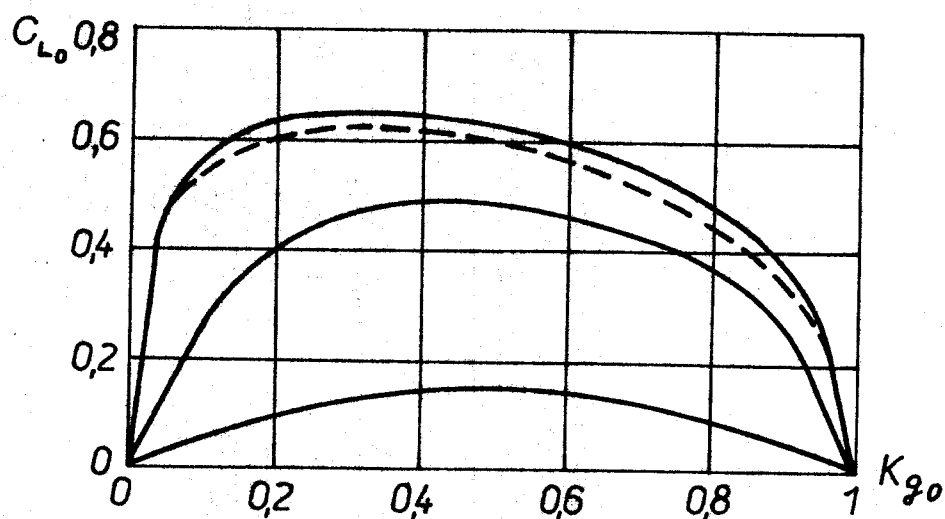


Obr. 20

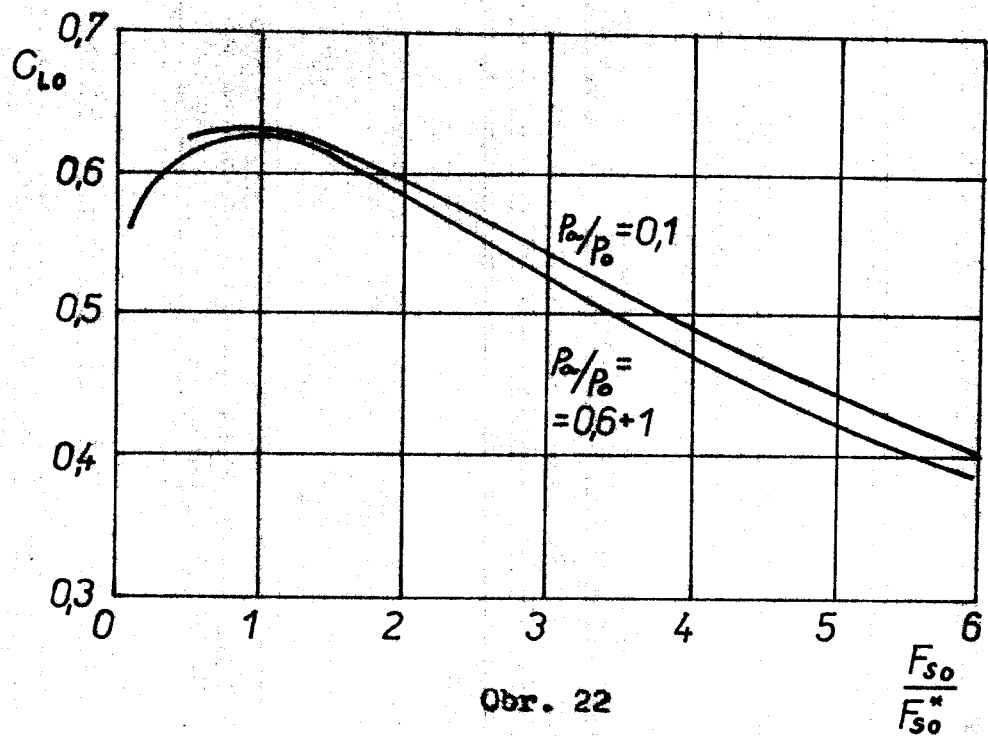
koeficient tlaku při  $h_0$  nezatíženém ložisku - při nulové excentricitě

$$h_0 = c \quad \lambda = \frac{c}{\lambda}$$

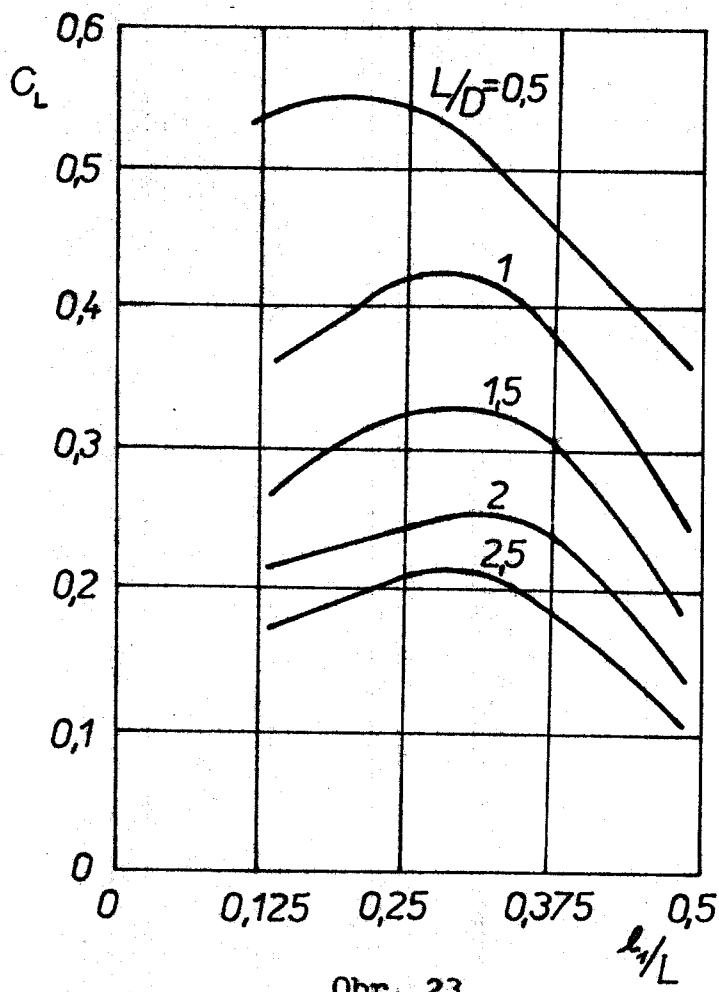
$$K_{go} = \frac{P_d - P_a}{P_0 - P_a} \quad \frac{F_s}{F_{so}} = \left( \frac{h_0}{\lambda} \right)^3 = \frac{1}{(1-\lambda \cos \epsilon)^3}$$



Obr. 21



Obr. 22



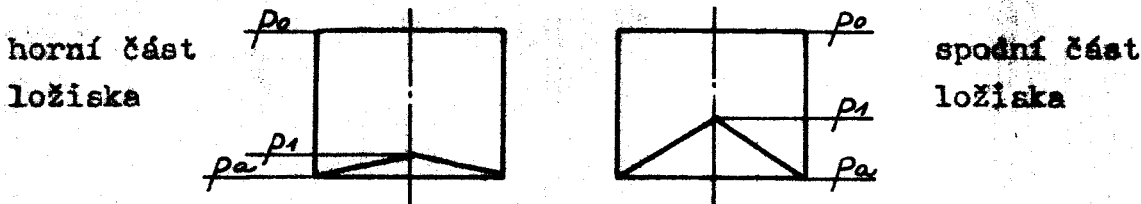
Obr. 23

— nestlačitelné mazadlo

— stlačitelné mazadlo

koeficient tlaku v ložisku  $K_{go}$  je konstrukční parametr, podle něhož lze určit pokles tlaku v mezere jako část celkového poklesu tlaku pro případ, když není ložisko zatíženo.

Zjednodušený význam koeficientu  $K_{go}$

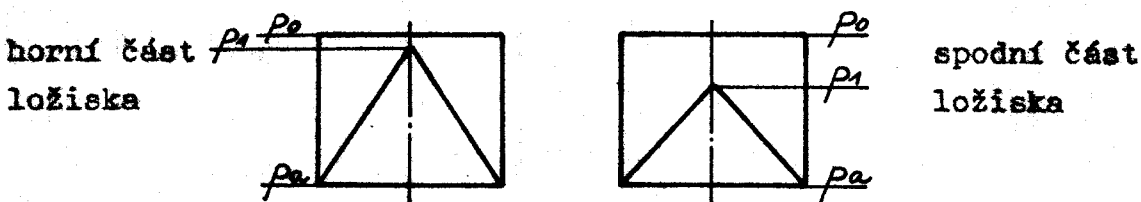


obrázek ukazuje průběh tlaků pro malé hodnoty  $K_{go}$ .

Tlak ve spodní části je několikrát větší než v horní.

Výsledný tlak je nízký, tzn. že únosnost ložiska je nízká.

Tyto poměry v ložisku mohou vzniknout, je-li malá plocha trysek, velká radiální /axiální/ mezera, nebo trysky jsou blízko kraje ložiska, nebo je velký tlak přívodního vzduchu.



obrázky platí pro velké hodnoty  $K_{go}$ .

Tlaky v obou částech ložiska jsou vysoké, jejich rozdíl není velký a ložisko má opět malou únosnost. Tyto poměry mohou nastat při velké ploše trysek, malé mezere, velké vzdálenosti trysek od kraje ložiska nebo malém přívodním tlaku.

Koeficient pro maximální únosnost:  $K_{go} = (0,35 + 0,5)$

## 2.9. Výpočet aerostatického radiálního ložiska podle ing. Trnky z SVÚSS Běchovice

Vychází se z Navier - Stokesových rovnic, z nich se odvodí Reynoldsova rovnice. Tuto rovnici lze řešit za zjednodušujících předpokladů:

- 1/ konstantní viskozita plynu v uvažovaném rozsahu teplot a tlaků  $\gamma/t, p/ = \text{konst}$
- 2/ konstantní hustota maziva v uvažovaném rozsahu teplot  $\rho/t = \text{konst}$
- 3/ předpokládáme laminární proudění  $Re < 2000$
- 4/ uvažujeme pouze složku rychlosti ve směru kluzného pohybu  $u$  a zanedbáváme složky  $v, w$  kolmé na  $u$
- 5/ izotermický proces v mazací vrstvě

Dosadíme-li předpoklady do Reynoldsovy rovnice, dostaneme:

$$\frac{\partial}{\partial x} \left( h^3 \rho \frac{\partial p}{\partial x} \right) + \frac{\partial}{\partial z} \left( h^3 \rho \frac{\partial p}{\partial z} \right) = 6 \cdot \gamma \cdot u_r \cdot \frac{\partial}{\partial x} [\rho \cdot h]$$

pro ideální plyn platí  $\frac{p}{\rho} = \text{konst}$

$$\frac{\partial}{\partial x} \left( h^3 \cdot \frac{\partial p}{\partial x} \right) + \frac{\partial}{\partial z} \left( h^3 \cdot \frac{\partial p}{\partial z} \right) = 6 \cdot \gamma \cdot u_r \cdot \frac{\partial}{\partial x} [p \cdot h] \quad ..(10)$$

z této rovnice se vypočítá únosnost ložiska, jejím řešením se zabýval S. A. Šejnberg.

Výpočet usnadnil zavedením bezrozměrných veličin, které jsou zpracovány graficky.

Charakteristické ložiskové číslo

$$\lambda = \frac{6 \cdot \gamma \cdot \omega \cdot r^2}{c^2 \cdot p_1} \quad \lambda^* = \frac{\lambda \cdot \lambda^2}{6} = \frac{\gamma \cdot \omega \cdot r^2}{c^2 \cdot p_1} \quad ..(11)$$

$\omega$  - úhlová rychlosť čepu

$r$  - poloměr čepu

$c$  - radiální výška

$p_1$  - tlak v mezeře ložiska

### Únosnost ložiska

$$W = l \cdot r \cdot p_1 \cdot K_z \cdot K_n = 0,5 \cdot l \cdot d \cdot p_1 \cdot K_z \cdot K_n \dots 12$$

$K_z$  - charakteristické číslo zaplnění ložiska, z obr. 28 se odečte pro daný poměr  $\frac{l}{K \cdot d}$

$K_n$  - charakteristické číslo únosnosti ložiska, z obr. 29 pro  $\lambda^*$

$K$  - koeficient úniku plynu - z obr. 27

Moment třecího odporu plynové mazací vrstvy:

$$M_t = \frac{2 \cdot \pi \cdot r^3 \cdot \gamma \cdot w \cdot l}{c} \cdot \left( \frac{1 + K_t \cdot K_z}{1 - \lambda^2} \right) \dots (13)$$

$K_t$  - charakteristické číslo tření

$\lambda$  - relativní ložisková výstřednost

$c$  - radiální ložisková vůle

pro  $K_z \cdot K_t \ll 1$  můžeme psát:

$$M_t = \frac{2 \cdot \pi \cdot r^3 \cdot \gamma \cdot w \cdot l}{c \cdot 1 - \lambda^2}$$

pro rychle se točící čep, kde  $\lambda < 0,3$  platí

$$M_t = \frac{2 \cdot \pi \cdot r^3 \cdot \gamma \cdot w \cdot l}{c}$$

ztracený výkon v ložisku:  $P_t = \frac{M_t \cdot w}{102}$

### Spotřeba stlačeného vzduchu

Množství plynu  $G_t$ , které protéká tryskou při adiabatické expozici je dáno rovnicí:

$$G_t = c \cdot s \cdot P_0 \cdot \sqrt{2 \cdot g \cdot \frac{x}{x-1} \cdot \frac{1}{R_p \cdot T} \left[ \left( \frac{P_1}{P_0} \right)^{\frac{2}{x}} - \left( \frac{P_1}{P_0} \right)^{\frac{x+1}{x}} \right]} \dots (14)$$

$x$  - adiabatický exponent

rovnice platí, je-li:  $\frac{P_1}{P_0} \geq \left( \frac{2}{x+1} \right)^{\frac{x}{x-1}}$

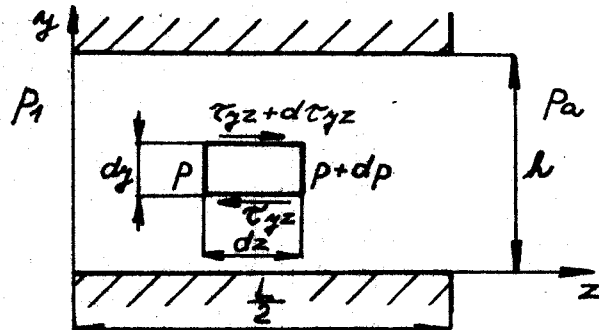
$$G_t = c \cdot s \cdot P_0 \cdot \sqrt{\frac{g \cdot x}{R_p \cdot T} \cdot \left( \frac{2}{x+1} \right)^{\frac{x+1}{x-1}}}$$

rovnice platí, je-li:

$$\frac{P_1}{P_0} \leq \left( \frac{2}{x+1} \right)^{\frac{x}{x-1}}$$

průtok plynu je maximální, je-li poměr  $\frac{P_4}{P_0}$  kritickým, pro vzduch 0,528

Z trysek vytéká plyn do ložiskové mezery v níž probíhá expenze až na hodnotu tlaku atmosferického. Při souososti čepu a pouzdra vytéká na každou stranu ložiska při laminárním proudění množství  $Q_1$



Obr. 26

podle obrázku:

$$-P \cdot dy \cdot 1 + (P + dp) dy \cdot 1 - (\tau_{yz} + d\tau_{yz}) dz \cdot 1 + \tau_{yz} \cdot dz \cdot 1 = \rho \cdot dz \cdot dy \cdot 1 \cdot \frac{dw}{dt}$$

Když zanedbáme zrychlující sílu  $\rho \cdot dz \cdot dy \cdot \frac{dw}{dt}$  oproti mnohonásobně většímu účinku viskozity, dostaneme  $\frac{dp}{dz} = \frac{d\tau_{yz}}{dy}$   
použijeme-li vztahu z definice viskozity  $\tau_{yz} = \gamma \cdot \frac{dw}{dy}$

$$\text{dostaneme: } \frac{dp}{dz} = \gamma \cdot \frac{d^2 w}{dy^2} \quad \frac{1}{\gamma} \cdot \frac{dp}{dz} = \frac{d^2 w}{dy^2}$$

integrujeme-li podle y, v rovině x - y, v níž je  $\frac{dp}{dz} = \text{konst}$   
a předpokládáme-li  $\gamma = \text{konst}$  ve směru osy y, potom:

$$w = \frac{1}{2} \frac{dp}{dz} \frac{y^2}{2} + k_1 y + k_2$$

integrační konstanty plynou z okrajových podmínek, že mazivo ulpívá na obou kluzných plochách /uvažujeme axiální tok plynu/  
pro  $y = 0$   $w_1 = 0 \Rightarrow k_2 = 0$

$$y = h \quad w_2 = 0 \Rightarrow k_1 = - \frac{1}{\gamma} \frac{dp}{dz} \cdot \frac{h}{2}$$

$$\text{rychlosť je pak: } w = \frac{1}{2\gamma} \frac{dp}{dz} (y^2 - h \cdot y)$$

množství plynu proteklé libovolným průřezem, jehož šířka se rovná jedné:

$$G_1 = \int_0^L \frac{w \cdot dy \cdot 1}{\rho p}$$

$$G_1 = \int_0^L \frac{w \cdot p \cdot dy}{R \cdot T}$$

$$v_p = \frac{R \cdot T}{P} \quad v_p - \text{měrný objem} \\ \text{plynu}$$

dosadíme za rychlosť w:

$$G_1 = \frac{\rho}{R \cdot T} \cdot \int_0^L \frac{1}{2 \gamma} \frac{dp}{dz} (\gamma^2 - h) dz = - \frac{\rho \cdot L^3}{12 \cdot \gamma \cdot R \cdot T} \frac{dp}{dz}$$

celkové množství proteklé libovolným místem ložiska - bereme že  $h = c$

$$G_L = - \frac{\pi \cdot D \cdot c^3}{12 \cdot \gamma \cdot R \cdot T} \cdot \rho \cdot \frac{dp}{dz}$$

$$\text{po integraci: } G_L = - \frac{\pi \cdot D \cdot c^3}{12 \cdot \gamma \cdot R \cdot T} \left[ \frac{p^2}{2} \right]_{p_1}^{p_a}$$

množství plynu proteklé jedné stranou ložiska

$$G_L = \frac{\pi \cdot D \cdot c^3 (p_1^2 - p_a^2)}{12 \cdot \gamma \cdot R \cdot T \cdot L} \quad \text{platí } 2G_L = G_t$$

$$2 \cdot \frac{\pi \cdot D \cdot c^3 (p_1^2 - p_a^2)}{12 \cdot \gamma \cdot R \cdot T \cdot L} = L \cdot S \cdot p_0 \sqrt{\frac{g \cdot \alpha \cdot (2)}{R \cdot T} \left( \frac{2}{2x+1} \right)^{\frac{2x+1}{2x-1}}}$$

$$\text{plocha trysky: } S = \frac{\pi \cdot D \cdot c^3 (p_1^2 - p_a^2)}{6 \cdot \gamma \cdot R \cdot T \cdot L} \cdot \frac{1}{\alpha \cdot p_0} \sqrt{\frac{R \cdot T}{g \cdot \alpha} \cdot \left( \frac{2x+1}{2} \right)^{\frac{2x+1}{2x-1}}}$$

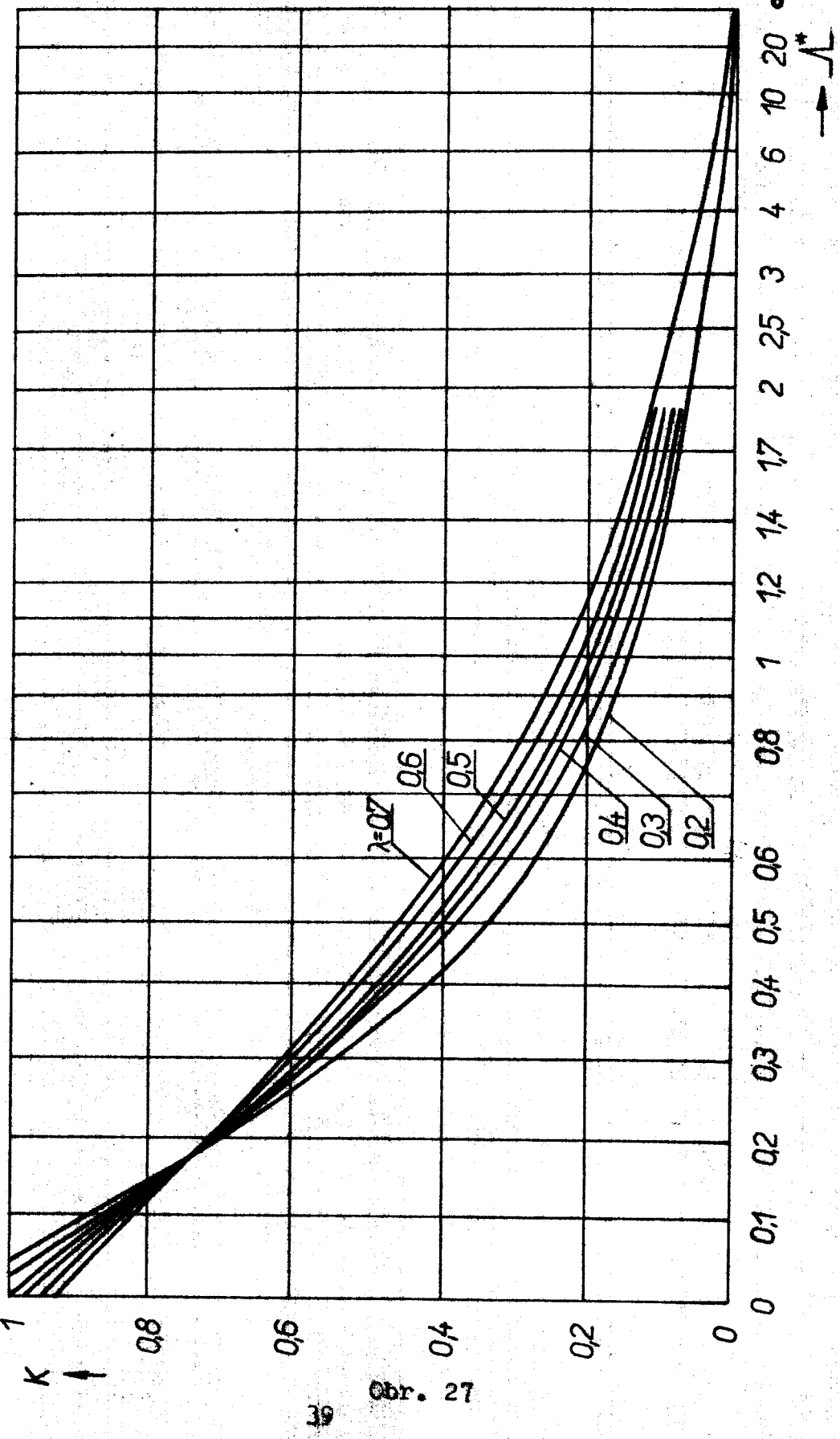
je-li pro vzduch poměr  $\frac{p_1}{p_0} = 0,528$ , dostaneme po úpravě:

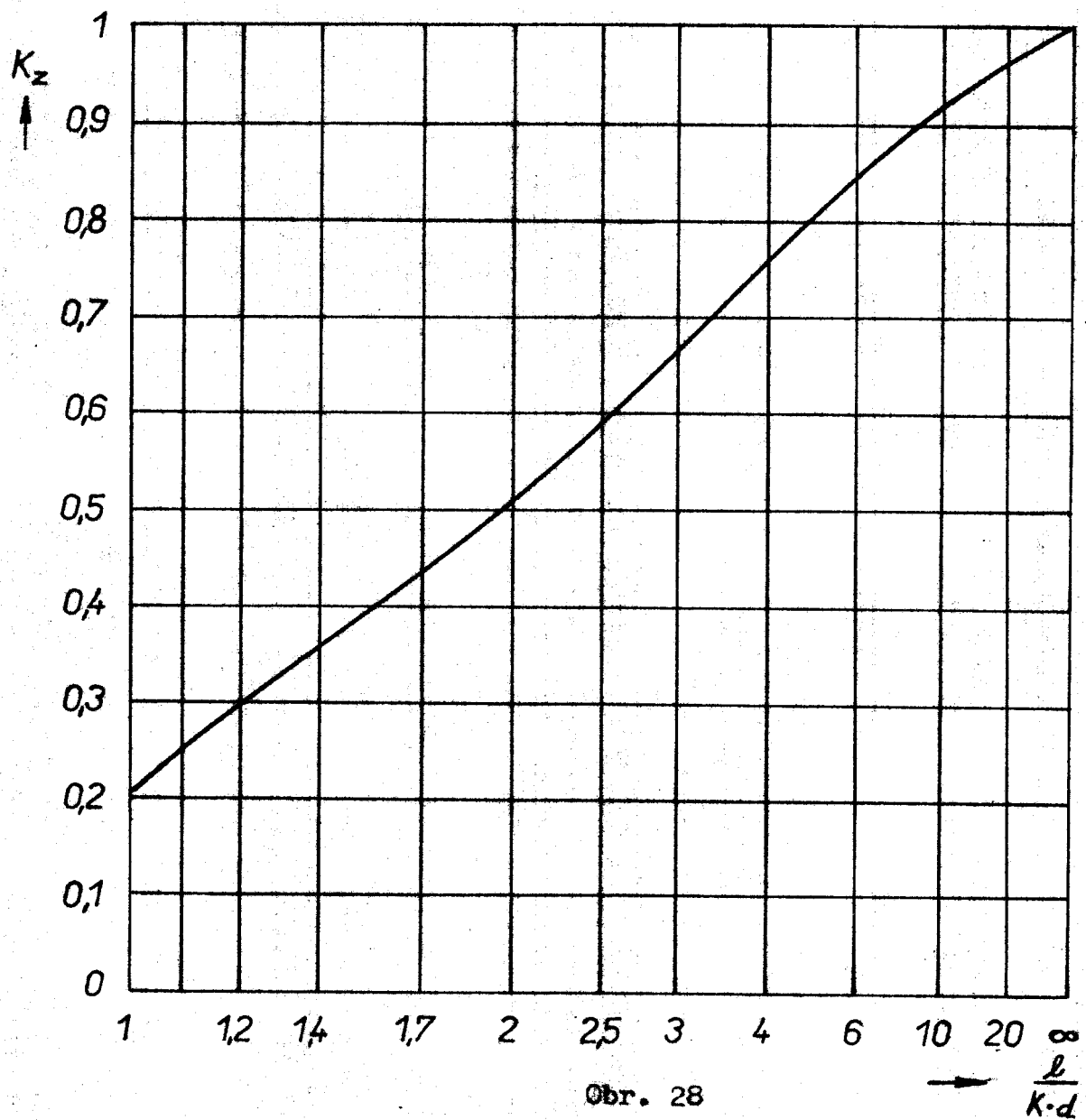
$$S = \frac{\pi}{20 \cdot L \cdot \gamma \cdot \alpha} \cdot \frac{D \cdot c^3}{L} \cdot p_0 \cdot \left( 1 - 3,59 \cdot \frac{p_a^2}{p_0^2} \right) \sqrt{\frac{1}{g \cdot \alpha \cdot R \cdot T} \cdot \left( \frac{2x+1}{2} \right)^{\frac{2x+1}{2x-1}}} \quad .(15)$$

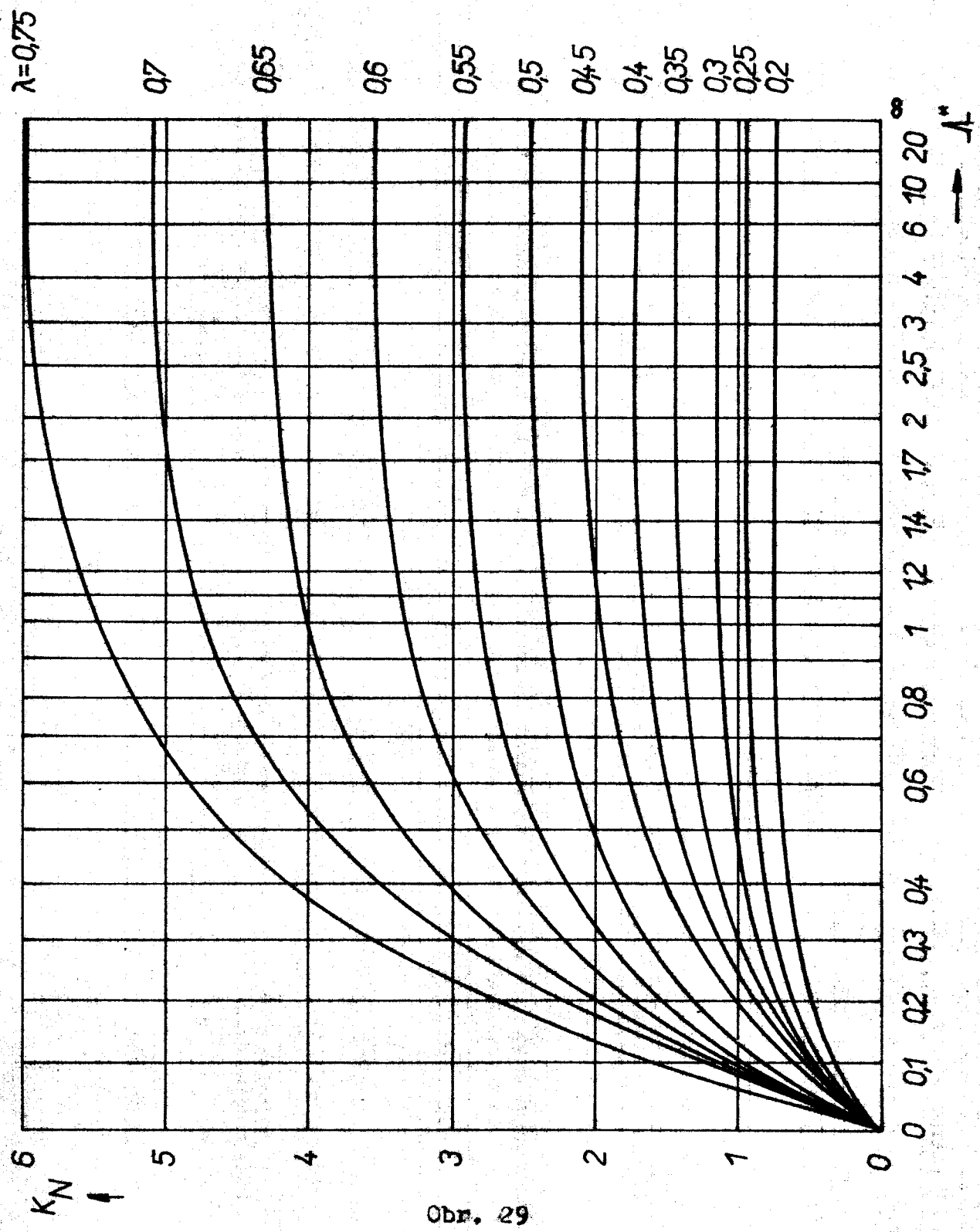
volíme počet trysek  $i$ ; pak průřez jedné trysky:

$$s_i = \frac{s}{i}$$

Minimální tloušťka nazáci vrstvy musí být větší než je součet maximálních povrchových nerovností čepu a ložiskového pouzdra. Střední aritmetická drenost povrchu  $R_a = 0,125$  a jí odpovídá výška nerovnosti  $R_z = 0,5 \mu\text{m}$ . Z hlediska bezpečnosti použijeme  $R_z \leq 3 \mu\text{m}$ .

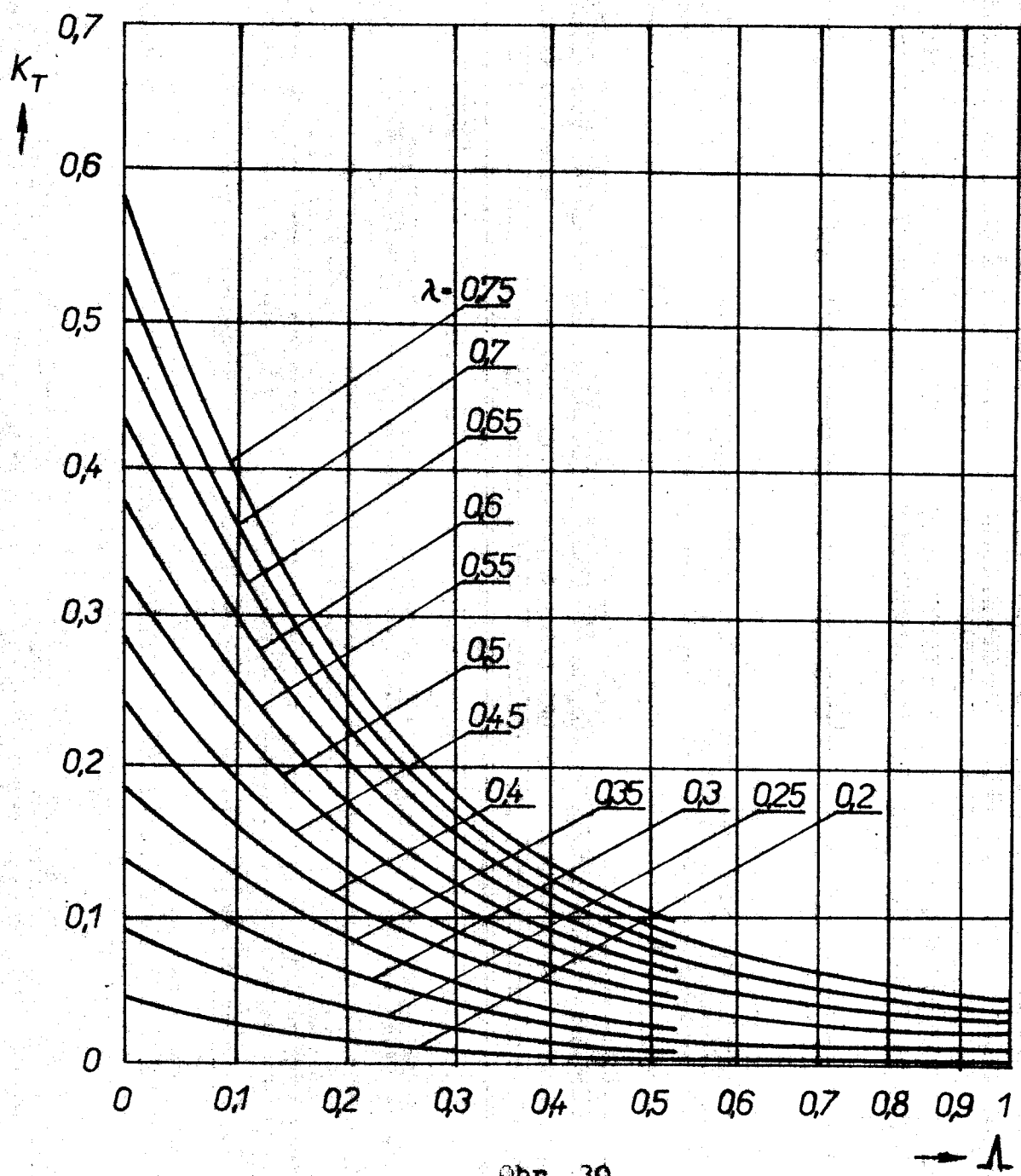






Оъи. 29

41



Obr. 30

## 2.10. Volba materiálu ložisek mazaných plynem a výrobně technologické požadavky.

Volba materiálu ložisek je jedním z nejdůležitějších faktorů při výrobě čepu a pouzdra. Materiál by měl při případném dotyku čepu s pouzdrem zabránit zadření ložiska nebo ho alespoň zmírnit. Materiál musí být rozměrově stálý v širokém rozsahu teplot, musí mít malou teplotní roztažnost a dobrou odolnost vůči zadření. Proto se k výrobě plynem mazaných ložisek nehodí běžné materiály, používané při výrobě valivých a kluzných ložisek. V praxi se osvědčila dvojice materiálů kalená ocel 14 100 - uhlíkový materiál SE 8g, impregnovaný furalovou pryskyřicí nebo teflonovou disperzí. Impregnovaný povrch pryskyřicí se hodí pro malá ložiska a nízké provozní teploty. Při rychlém nárůstu teploty se může vrstva uhlíku odložit. Pro větší průměry ložisek a vyšší obvodové rychlosti se používá impregnace teflonovou disperzí. Dalším materiálem, vyráběným v Elektrokarbonu Teplice, je uhlík sycený kompozicí s označením S 61. Z ocelových materiálů se doporučuje ocel 19 800, 19 802, dvojice materiálů, vyrobena práškovou technologií karbid wolframu - karbid wolframu.

Na správnou funkci ložisek má rozhodující vliv výroba kluzných povrchů čepu a pouzdra. Při opracování je třeba dodržet předepsané tolerance geometrických tvarů a drsnosti povrchu. Úchylka kruhovitosti nemá přesahovat 10 % průměrové výšky na délku ložiska. Střední aritmetická drsnost povrchu má být  $R_a = 0,125$ , které odpovídá výška nerovností  $R_z = 0,5 \mu\text{m}$ . Z hlediska bezpečnosti se volí  $R_z = 3 \mu\text{m}$ .

Nitridované povrchy, impregnované uhlíkové povrchy se načisto lapují, vždy každá dvojice čep - pouzdro zvlášť, aby se dosáhlo požadované přesnosti. Trysky pro přívod plynu se bud vrtají odstupňovanými vrtáky po 0,01 mm nebo se obrábějí

elektroerezivním způsobem. U ocelových materiálů je vhodné použít po každém obrábění vyžádání k odstranění vnitřního pnutí, čímž se zaručí rozměrová stálost.

#### Optimální rozměry ložiska.

Roste-li poměr délky L k průměru ložiska D, koeficient únosnosti  $C_1$  se zmenšuje na úkor proudění vzduchu kolem čepu, přitom se také uplatňuje záporný vliv osového rozložení trysek. Pro poměr L/D v rozsahu 1,0 + 3,0 má koeficient únosnosti  $C_1$  maximum pro vzdálenost trysek od konce ložiska v  $1/4 + 1/3$  délky ložiska. V praxi se obyčejně zadává průměr ložiska D a je třeba volit poměry L/D a 1/L takové, aby zabezpečily maximální únosnost při daném přívodním tlaku plynu.

#### 2.11. Uložení sprádních rotorů u bezvretenových doprásadacích strojů.

##### Princip sprádní jednotky BD 200.

Cílem sprádní jednotky je předložený vlákenný pramen v jednotce na jednotlivá vlákna ve vyčesávacím ústrojí, zjemnit pramen a ve sprádném rotoru dát zákrut vytvářené přízi. Příze je z prostoru rotoru odtahována odtahovacími válečky a navijena na válcovou nebo kuželovou, křížem soukanou cívku.

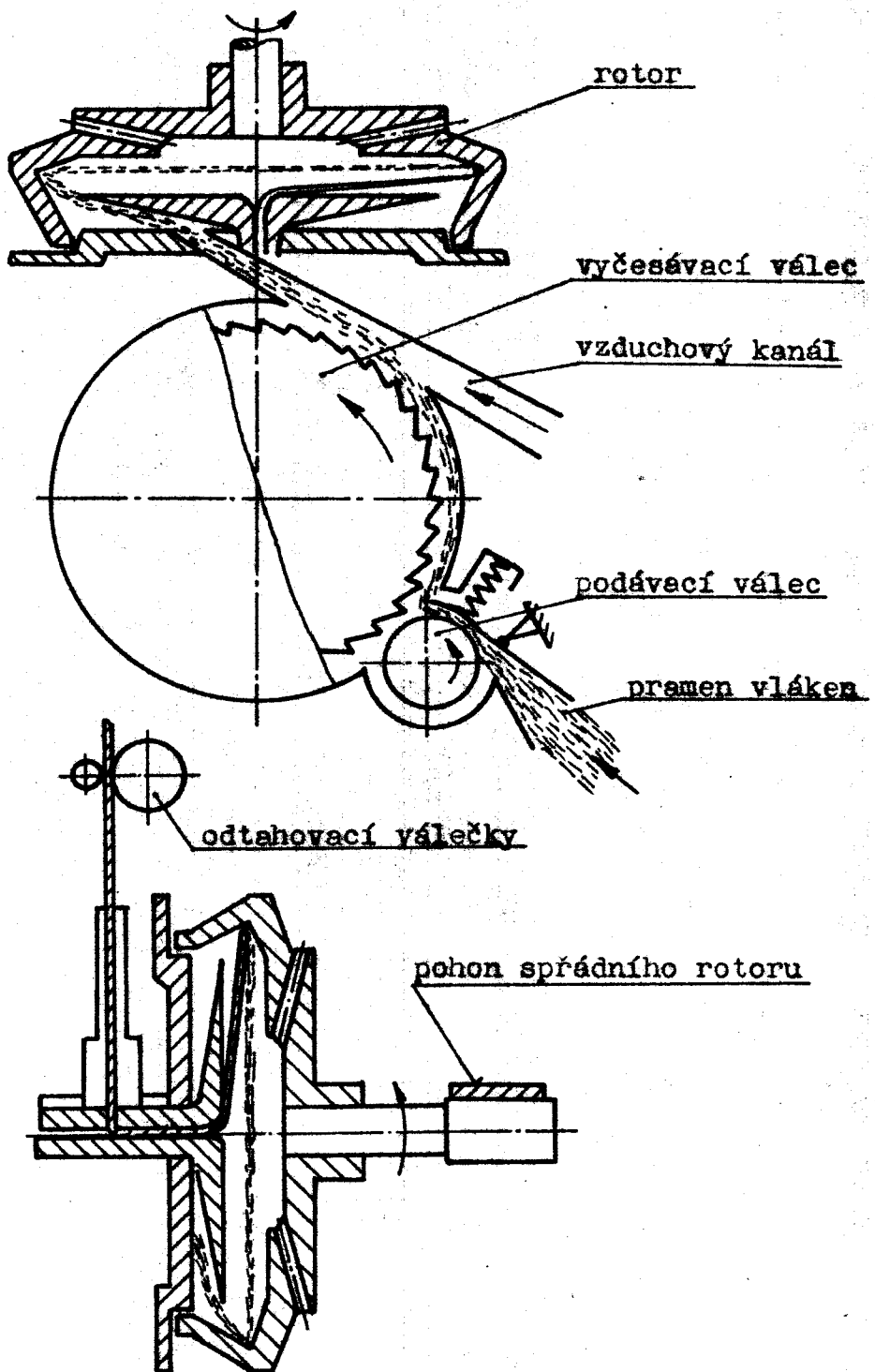
Sprádní jednotka BD 200 je složena ze tří technologicky nutných částí:

1/ podávací váleček - zajišťuje dopravu vlákenného pramene do jednotky

2/ vyčesávací váleček - svým ohrceným povrchem vyčesává jednotlivá vlákna /plní funkci pretahovacího ústrojí/ a dopravuje je do vzduchového kanálu

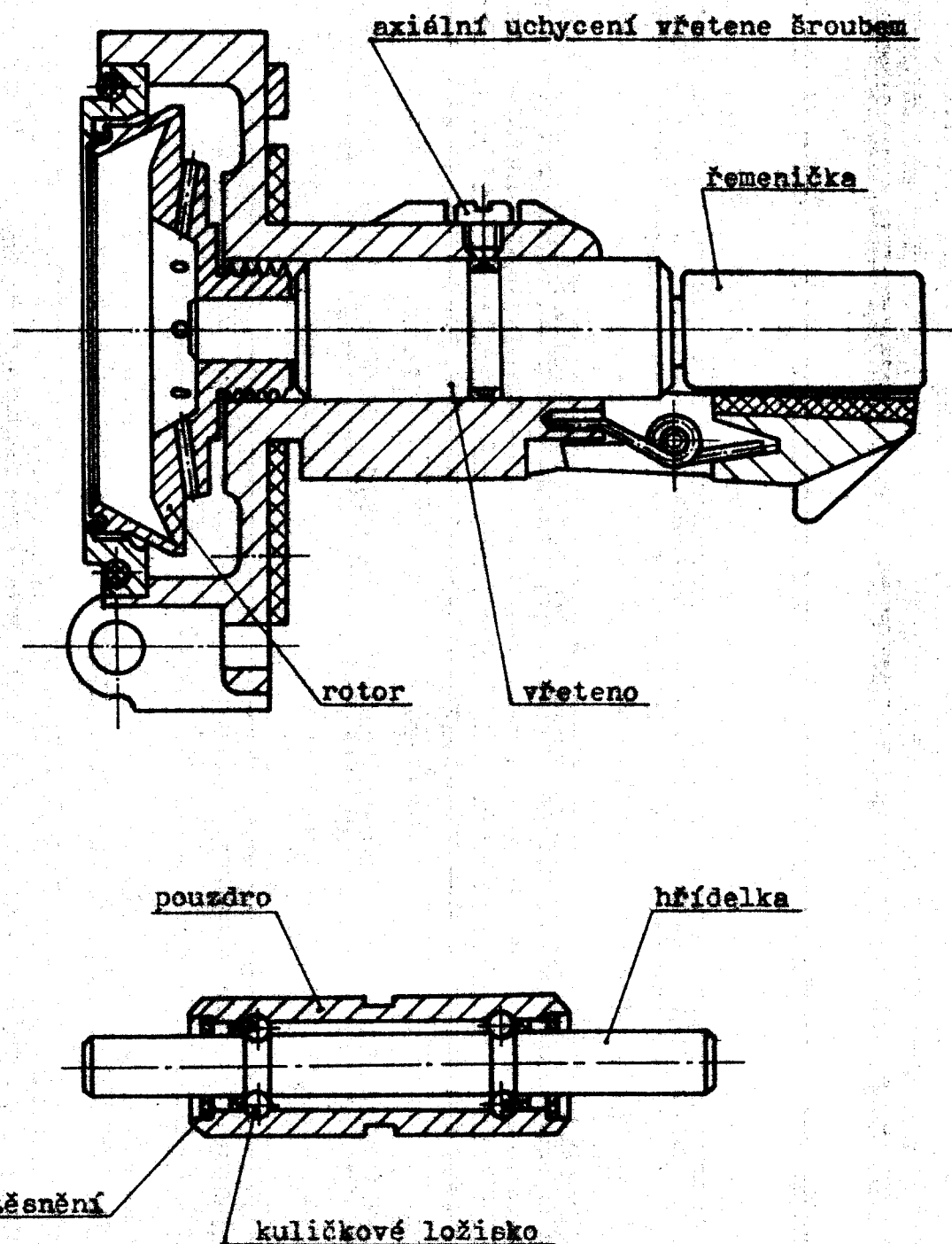
3/ sprádní rotor - vytváří zkrucováním vláken přízi

**Technologické schema sprádní jednotky BD 200**



Obr. 31

Uložení sprádního rotoru ED 200



Obr. 32

Jelikož provozní otáčky sprádácích rotorů se pohybují mezi 40 000 až 60 000 za minutu, musí mít vlastní valivé uložení speciální konstrukci, obr.32 . Toto uložení umožňuje zajistit vysokou přesnost chodu i tvaru oběžných druh důležitých, pro spolehlivou funkci rychloběžných ložisek. Vřeteno rotoru je tedy uloženo ve dvou kuličkových ložiskách. Vnitřní kroužek ložiska tvoří oběžná dráha kuliček, která je vybroušena do hřídelky sprádního rotoru. Vypuštěním vnitřních kroužků se dosáhlo uložení s vysokou únosností a životností na co nejmenším průměru. Ložisková komora je navenek utěsněna dvěma lemovanými kryty. Po smontování se ložiska mažou speciálním mazacím tukem. U otáček do 40 000 za minutu není třeba uložení přimazávat, protože k opotřebení ložisek dojde dříve, než se mazací tuk spotřebuje.

Uložení vřeten sprádních rotorů vyrábí a montuje firma SKF - Továrny na kuličková ložiska, závod Cannstadt.

Po nalisování sprádního rotoru a hnací řemeničky na hřídelku, je třeba celek pečlivě vyvážit. Vyvažování by se mělo provádět, pokud možno, při provozních otáčkách.

Uložení sprádního rotoru BD 200 je označováno jako vřeteno SP 66/40, jehož nevýhodou je, že neumožňuje zvýšení otáček. Zvýšením otáček dochází ke zvýšení hlučnosti a k rychlému opotřebení ložisek. Proto se přistoupilo ve VÚB Ústí nad Orlicí k řešení tohoto problému pomocí tzv. uložení rotoru na vzduchovém polštáři.

Nové uložení rotoru na vzduchovém polštáři je použito u prototypu stroje BDA.

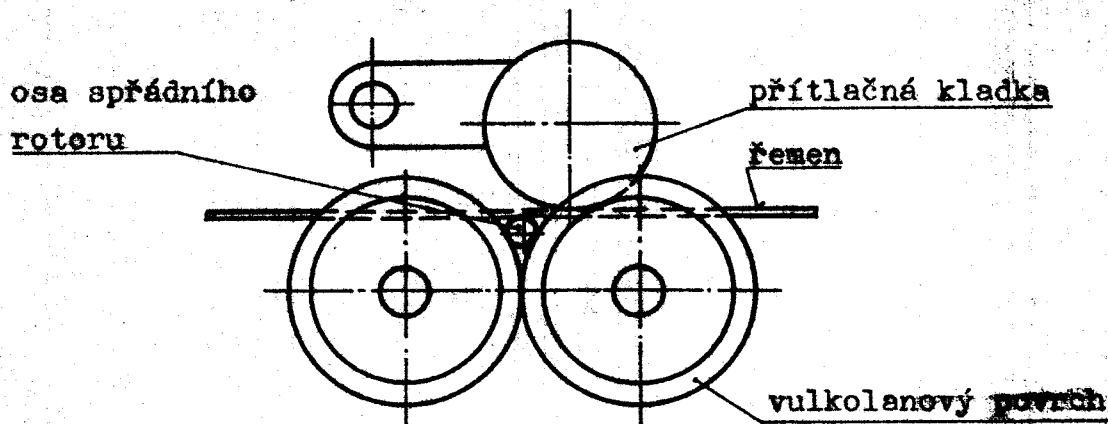
### 3. POROVNÁNÍ ULOŽENÍ SPŘÁDNÍHO ROTORU JEDNOTKY BD 200 S ULOŽENÍM ROTORU JEDNOTKY SÜSEN.

#### 3.1. Uložení sprádního rotoru jednotky Süssen.

Jak již bylo uvedeno v předchozím textu, je vřeteno sprádního rotoru jednotky BD 200 uloženo ve valivých ložiskách. Toto uložení neumožňuje zvýšit otáčky a tím produktivitu práce jednotky.

V roce 1971 byla na světové výstavě textilních strojů ATMA v Paříži poprvé vystavena jednotka Süssen s uložením Twindisc. Moderní sprádní jednotka je konstruována pro vysoké provozní otáčky, vyhovuje požadavku rychlé výměny sprádního rotoru při změně délky sprádaných vláken. Průměr rotoru, který je relativně větší než délka vlákna, vede ke zbytečné vysoké spotřebě hnací síly a ke zbytečnému napětí v přízi. Zvýšené napětí má za následek přetrhy příze.

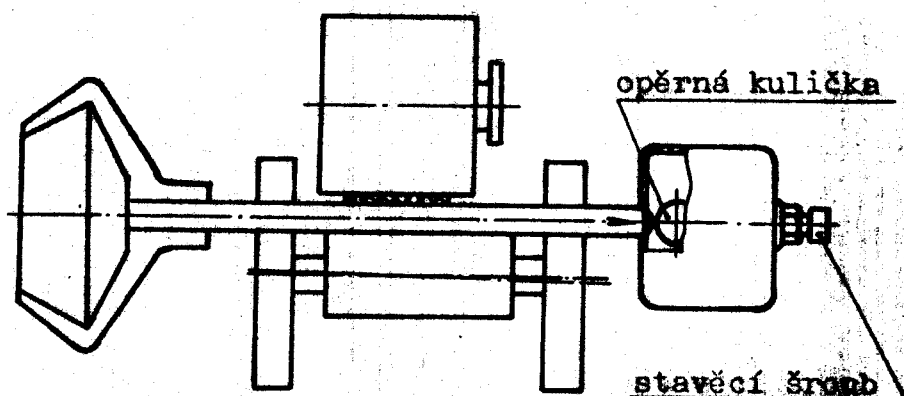
Uložení se skládá ze dvou párů opěrných kotoučů, jejichž osy jsou uloženy v kuličkových ložiskách, obr. 33 .



Obr. 33 .

Hřídelka / osa / sprádního rotoru je poháněna přímo tangenciálním řemenem, vyrobeným z polyurethanu, a leží v klinové mezeře mezi podpěrnými kotouči.

Vulkolanový povrch kotoučů a tangenciální řemen, jsou účinné prvky tlumení vibrací rotoru. Převodový poměr mezi hřídelkou sprádního rotoru a opěrnými kotouči je v poměru 1 : 8. Např. při 96 000 otáčkách rotoru se kotouče otáčí pouze 12 000 otáčkami za minutu. Proto osy kotoučů mohou být uloženy v kuličkových ložiskách, nevyžadují zvláštní údržby, jejich životnost je 5 roků při trismenném provozu. Osy opěrných kotoučů jsou vůči sobě mimoběžné, takže při otáčkách rotoru vznikající osová síla má směr k axiálnímu ložisku, obr. 34.

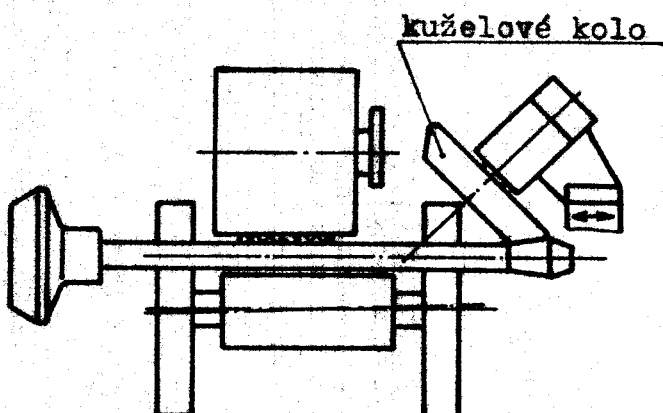


Obr. 34

Axiální ložisko tvoří ocelová kulička, opěra kuličky je provedena stavěcím šroubem. Kulička je ponorená v olejové lázni, tak že místo dotyku kuličky s hřídelí je neustále mazáno.

Obr. 35. ukažuje na axiální zajištění hřídele kuželován kolem s vulkolanovým povrchem. Toto kolo k svému pohybu odebírá značný příkon.

Výhodou bodového ložiska je, že šroubem lze seřídit polohu sprádní komory vzhledem k plnicímu kanálu. Tangenciální řemen pohánějící hřídel sprádního rotoru je k hřídeli přitlačován odpruženou napínací kladkou. Otočně umístěné rameno nese jak napínací kladku, tak i brzdící čelist. Tato konstrukce umožňuje zabrzdění rotoru při současném oddálení napínací kladky.



Obr. 35

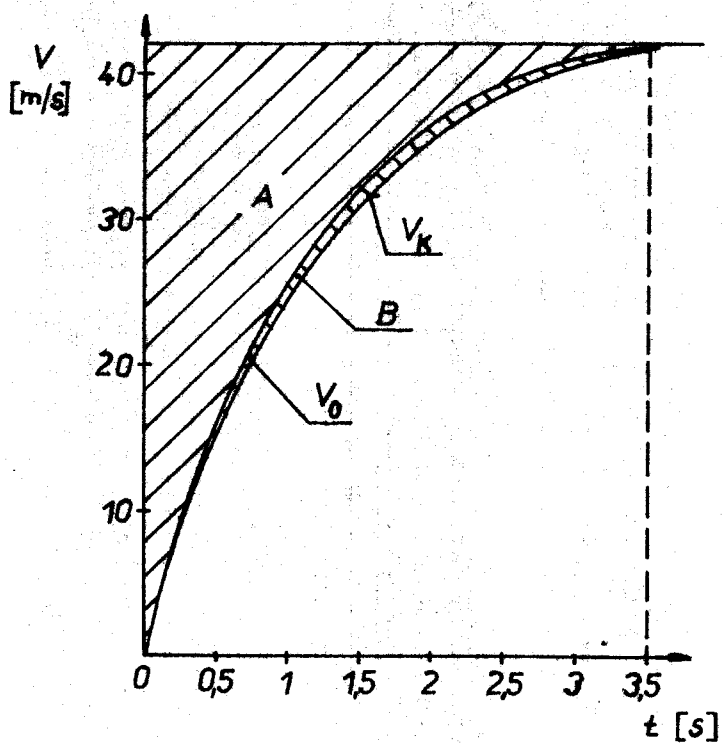
### 3.2. Rozbor konstrukčního uzlu - pohon jednotky

Z obrázku č. 33 str. 48 je vidět silový tok: řemen - rotorová osa - opěrné kotouče.

Tangenciální řemen pohání osu sprádního rotoru, která přenáší otáčivý pohyb na opěrné kotouče. Protože řemen pohání více spřádních jednotek, musí se pohybovat stále konstantní rychlostí. Naproti tomu se však zastavují jednotlivé rotory při přetrvácích příze. Aby se zastavený rotor opět dostal do pracovních otáček, je třeba určitého časového rozpětí, které je ovlivněno odporom vzduchu a strvačností rotoru. Prvě rotor klade největší odpor zrychlení. Když odbrzdíme rotor a napínací kladkou přitlačíme řemen k rotoru, nedojde okamžitě k nárustu pracovní rychlosti z 0 na 100%. Mezi osou sprádního rotoru a řemensem existuje tedy relativní pohyb označovaný jako zklus.

Při použití sprádního rotoru s průměrem 60 mm a největších otáčkách 90 000 za minutu, je hodnota skluzu rovna 3,5 sec.. Tento skluz se projeví zvýšením tepelné energie. Řemen skluzem prakticky netrpí, protože vzniklé teplo se rozdělí na dlouhou plochu ochlazovanou okolním vzduchem. Rovněž ani vulkanový povrch kotoučů není teplem ovlivněn.

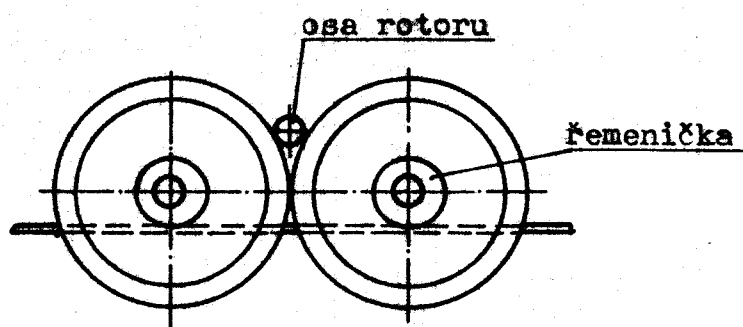
Z obr. 36 můžeme vyčíst, že křivka rychlosti rotorové osy  $v_0$  se jen málo odlišuje od křivky rychlosti kotoučů  $v_k$ .



Obr. 36

Plocha A udává skluz mezi hnacím řemenem a rotorovou osou, plocha B skluz mezi rotorovou osou a kotouči.

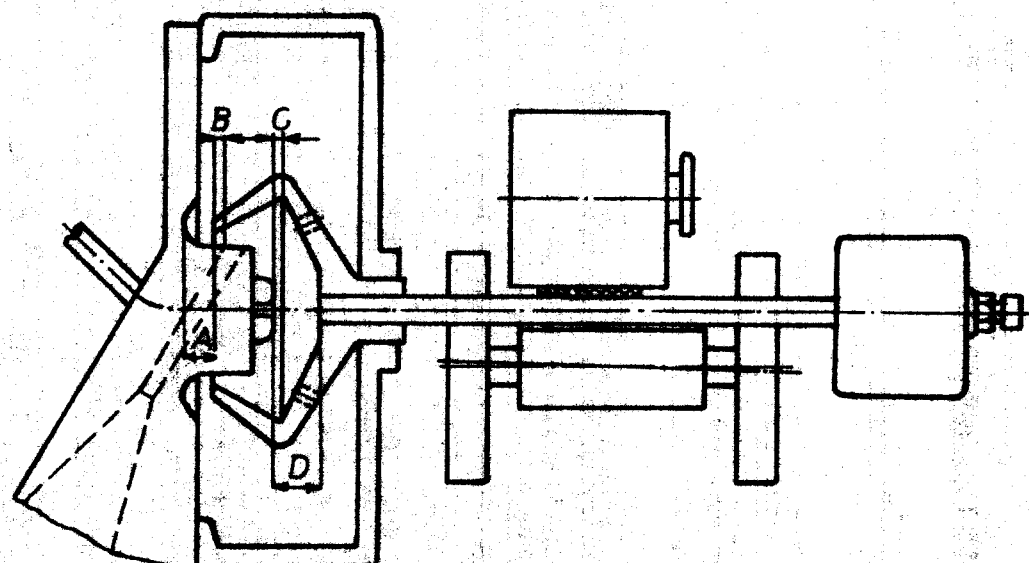
Obrázek č. 37 udává jiné usporádání pohonu rotorové osy, tzv. spodní pohon. Tangenciální řemen pohání řemeničku opěrných kotoučů. Silový tok je opačný než v případě horního pohoru: hnací řemen - kotouče - rotorová osa. Při rozběhu musí být vynaloženo podstatně méně kinetické energie pro pohyb opěrných kotoučů, než pro sprádní rotor, který je vystaven odporu vzduchu. Jakmile se stiskne hnací řemen proti řemeničce, dosáhnou opěrné kotouče prevozní otáčky rychleji než zprádací rotor. Znamená to velký skluz a značné zahřívání vulkolanového povrchu, při současném větším namáhání kuličkových ložisek kotoučů. Proto se s výhodou používá prvého uvedeného způsobu pohonu sprádného rotoru.



Obr. 37

### 3.3. Axialní zajištění osy sprádného rotoru jednotky Sussen.

Z technologických důvodů je třeba, aby při předení rotor zaujímal přesně nastavenou polohu vůči pevnému přiváděcímu kanálu a odváděcí nálevce. Mění-li se rotor, musí se jeho poloha opět nastavit a zafixovat.



Obr. 38

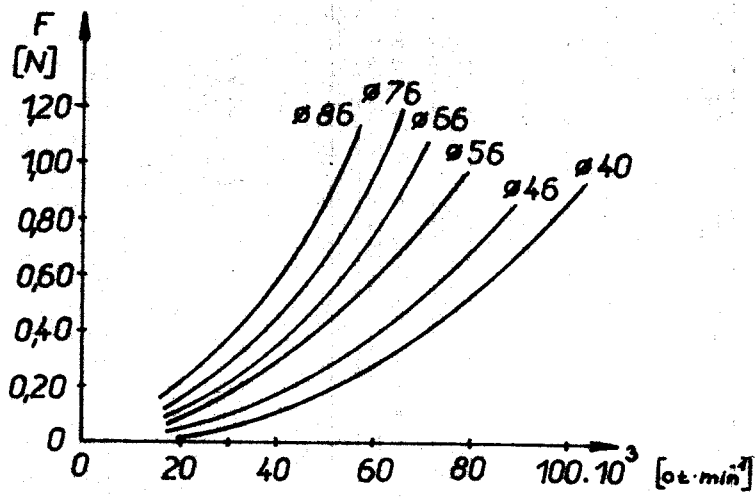
Z obrázku 38 jde o tyto důležité rozměry:

- A - při použití sprádného rotoru s ventilačními otvory tvoří tato mezera tzv. pneumatický uzávěr
- B - zajišťuje správný dopad vláken na vnitřní stěnu rotoru, je-li rozměr B velký, mohlo by dojít k dodatečnému zapředání vláken do příze
- C - ovlivňuje tření příze na vrcholku odtafové nálevky, určuje také úhel odtafované příze
- E - ovlivňuje pohyb vzduchu uvnitř rotoru

Axiální nastavení sprádného rotoru se provádí seřizovacím šroubem přes opěrnou kuličku s přesností  $\pm 0,15$  mm. Viz. obr. 34

Porovnáme-li sprádní jednotky BD 200 a Süssen zjistíme, že nesporou výhodou jednotky Süssen je jednoduchost konstrukce a z ní vyplývající rychlá výměna rotoru.

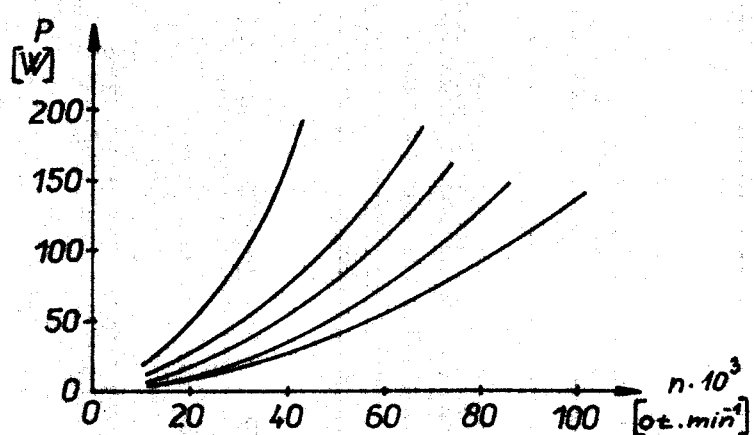
Při sprádání vláken krátkého staplu se použije rotor o menším průměru a naopak. Z obr. 39 můžeme odebírat pro daný průměr rotoru a jeho otáčky, velikost odstředivé síly působící při sprádacím procesu.



Obr. 39

Sprádní jednotka BD 200 nemá vyměnitelný rotor, je vybavena takovým rotem, jehož průměr odpovídá nejdelším spracovávaným vláknům. Někdy se zbytečně vynaloží více energie na sprádání, než by bylo třeba při změně průměru rotoru.

Porovnáme-li sprádní jednotky z hlediska příkonu v závislosti na provozních otáčkách, lze říci, že uložení Süssen má oproti uložení BD 200 výhodu výměny sprádního rotoru, což znamená pokles příkonu stroje v určitých mezích otáček, obr. 40.



Obr. 40

Konstrukce uložení obou sprádních jednotek vyhovuje i v oblasti hlučnosti. Hlučnost nepřekračuje dovolenou hranici.

U jednotky BD 200 je hodnota hlučnosti 86 dBA u jednotky Süssen 87 dBA.

Uložení vřetene jednotky BD 200 je označené SP 66/40, obr. 32

Představuje samostatný montážní, nerozebíratelný celek.

Neumožňuje zvýšení otáček sprádního rotoru.

#### 4. NÁVRH, VÝPOČET A KONSTRUKCE ULOŽENÍ SPŘÁDNÍHO ROTORU NA VZDUCHOVÉM POLŠTÁŘI.

##### 4.1. Výpočet radiálního ložiska /podle ing. Trnky z SVÚSS/

Voljen průměr ložiska:  $d = 15 \text{ mm}$

délka ložiska z poměru  $\frac{1}{d} = 1,5 \Rightarrow 1 = 1,5 \cdot 15 = 22,5 \text{ mm}$

radiální ložisková výška:  $c = \frac{d}{2} \cdot 10^{-3} = \frac{15 \cdot 10^{-3}}{2} \cdot 10^{-3} = 7,5 \cdot 10^{-6} \text{ m}$

charakteristické ložiskové číslo:

$$\lambda^* = \frac{\gamma \cdot \omega \cdot r^2}{c^4 \cdot p_1} \quad \begin{matrix} \text{dynamická viskozita} \\ \gamma = 1,779 \cdot 10 \text{ N.s.m}^2 \end{matrix}$$

pro maximální průtok vzduchu tryskou je poměr tlaků:

$$\frac{p_1}{p_0} = 0,528 \quad \text{poměrem kritickým}$$

$p_1$  - tlak v mezeře ložiska ... 0,3 MPa

$p_0$  - tlak před tryskou ... 0,568 MPa

úhlová rychlosť:

$$\omega = \frac{\pi \cdot n}{30} = \frac{\pi \cdot 10^5}{30} = 10472 \text{ s}^{-1}$$

$$\lambda^* = \frac{1,779 \cdot 10^5 \cdot 10472 \cdot (7,5 \cdot 10^{-6})^2}{(7,5 \cdot 10^{-6})^2 \cdot 3 \cdot 10^{-6}} = 0,621$$

$\lambda$  - relativní ložisková výstřednost

$$\lambda = 1 - \frac{h_{\min}}{c}$$

$h_{\min}$  - minimální tloušťka mezející vrstvy musí být vždy větší, než součet maximálních povrchových nerovností čepu a pouzdra. Z hlediska bezpečnosti bereme drsnost povrchu

$R_z = 1,5 \mu\text{m}$ , tedy:

$$h_{\min} = 2 \cdot R_z = 3 \mu\text{m} = 3 \cdot 10^{-6} \text{ m}$$

$$\lambda = 1 - \frac{3 \cdot 10^{-6}}{7,5 \cdot 10^{-6}} = 0,6$$

z obrázků 27, 28, 29, 30, odečteme konstanty  $k$ ,  $k_2$ ,  $k_n$ ,  $k_t$

$$k = 0,35$$

$$\frac{1}{F \cdot d} = \frac{22,5 \cdot 10^3}{0,35 \cdot 0,015} = 4,285$$

$$k_2 = 0,77, k_n = 3,05$$

$$\text{charakteristické číslo tření } k_t = 0,001$$

únosnost ložiska:

$$W = 0,5 \cdot 1 \cdot d \cdot p_r \cdot k_2 \cdot k_n = 0,5 \cdot 22,5 \cdot 10^3 \cdot 15 \cdot 10^3 \cdot 0,3 \cdot 0,77 \cdot 3,05 = 1,4 \cdot 10^4 \text{ MN}$$

moment třecího odporu plynové mazací vrstvy:

$$M_T = \frac{2 \cdot \pi \cdot r^3 \cdot g \cdot \omega \cdot l}{c} \cdot \frac{1 + k_t \cdot k_2}{1 - \lambda^2}$$

protože  $k_t \cdot k_2 \ll 1$  pak platí:

$$M_T = \frac{2 \cdot \pi \cdot r^3 \cdot g \cdot \omega \cdot l}{c \cdot 1 - \lambda^2} = \frac{2 \cdot \pi \cdot (2,5 \cdot 10^3)^3 \cdot 1,779 \cdot 10^{-5} \cdot 10472 \cdot 22,5 \cdot 10^3}{7,5 \cdot 10^{-6} \cdot 1 - 0,6^2} = 1,85 \cdot 10^{-3} \text{ N.m}$$

výkon ztracený v ložisku:

$$P = M_T \cdot \omega = 1,85 \cdot 10^3 \cdot 10472 = 19,3 \text{ W}$$

volím počet trysek:  $n = 4$

$$S_c = \frac{\pi \cdot d \cdot c^3 \cdot (\rho_1^{\frac{2}{\gamma}} - \rho_2^{\frac{2}{\gamma}})}{6 \cdot g \cdot R \cdot T \cdot l} \cdot \frac{1}{\infty \cdot p_0} \cdot \sqrt{\frac{R_p \cdot T}{g \cdot x} \cdot \left(\frac{x+1}{2}\right)^{\frac{x+1}{x-1}}}$$

$R_p$  - plynová konstanta vzduchu  $29,27 \text{ m} \cdot \text{K}^{-1}$

$T$  - absolutní teplota plynu  $293 \text{ K}$

$c$  - výtokový součinitel  $0,8$

$x$  - adiabatický exponent, pro vzduch  $1,4$

$$S_c = \frac{\pi \cdot 15 \cdot 10^3 \cdot (7,5 \cdot 10^6)^3 \cdot [(3 \cdot 10^5)^2 - (1 \cdot 10^5)^2]}{6 \cdot 1,779 \cdot 10^5 \cdot 29,27 \cdot 293 \cdot 22,5 \cdot 10^3} \cdot \frac{1}{98 \cdot 5,68 \cdot 10^5}.$$

$$\cdot \sqrt{\frac{29,27 \cdot 293 \cdot (1,4+1)}{9,81 \cdot 1,4} \cdot \left(\frac{1,4+1}{2}\right)^{\frac{1,4+1}{1,4-1}}} = 1,3 \cdot 10^{-7} \text{ m}^2$$

plocha jedné trysky:

$$s = \frac{S_c}{4} = \frac{1,3 \cdot 10^{-7}}{4} = 3,25 \cdot 10^{-8} \text{ m}^2$$

průměr trysky:

$$d = \sqrt{\frac{4 \cdot s}{\tau}} = \sqrt{\frac{4 \cdot 3,25 \cdot 10^{-8}}{\pi}} = 2,03 \cdot 10^{-4} \text{ m} = 0,2 \text{ mm}$$

množství vzduchu proteklé jednou stranou ložiska:

$$G_1 = \frac{\pi \cdot d \cdot \dot{c} \cdot (\rho_1^2 - \rho_a^2)}{6 \cdot \gamma \cdot R \cdot T \cdot l} = \frac{\pi \cdot 15 \cdot 10^3 \cdot (7,5 \cdot 10^6)^2 \cdot (3 \cdot 10^5 - 1 \cdot 10^5)}{6 \cdot 1,779 \cdot 10^5 \cdot 29,27 \cdot 293 \cdot 22,5 \cdot 10^3} = 7,72 \cdot 10^{-5} \text{ kg} \cdot \text{s}^{-1}$$

množství plynu proteklé ložiskem:

$$G_L = 2G_1 = 1,51 \cdot 10^4 \text{ kg} \cdot \text{s}^{-1} = 0,554 \text{ kg} \cdot \text{hod}^{-1}$$

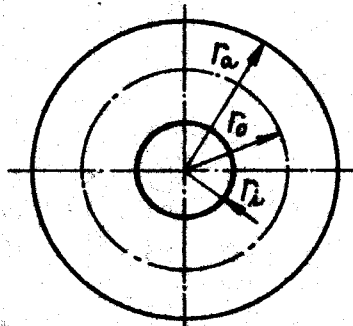
objem plynu v  $\text{m}^3$ :

$$V = \frac{G_L}{\dot{c}} = \frac{0,554}{1,14} = 0,48 \text{ m}^3$$

pro dvě ložiska platí proteklé množství plynu:

$$2V = 0,96 \text{ m}^3 \text{ vzduchu.}$$

#### 4.2. Výpočet axiálního ložiska:



Obr. 41

$$r_i = 7,5 \cdot 10^{-3} \text{ m}$$

$$r_o = 13 \cdot 10^{-3} \text{ m}$$

$$r_a = 18 \cdot 10^{-3} \text{ m}$$

úhel jednotkové nosné plochy  $\varepsilon = 90^\circ$

počet jednotkových nosných ploch  $V$  na přímý úhel  $\omega = 180^\circ$

$$V = \frac{180^\circ}{90} = 2$$

plecha nosného pole:

$$\frac{S \cdot \pi \cdot \varepsilon (r_a^2 - r_i^2)}{360} = \frac{\pi \cdot 90 \cdot [(18 \cdot 10^{-3})^2 - (7,5 \cdot 10^{-3})^2]}{360} = 2,1 \cdot 10^{-4} \text{ m}^2$$

nosná síla pole:

$$F_n = (C \cdot p_1 - p_a) \cdot S$$

$C$  - faktor nosnosti pro přived vzduchu tryskou

$C_{\infty}$  - faktor nosnosti pro přived vzduchu štěrbinou

$$C = C_{\infty} \cdot f$$

$$C = \frac{C_{KA} + C_{KI} \cdot \frac{r_i}{r_a}}{1 - \frac{r_i^2}{r_a^2}}$$

ložiskové čísla:

$$\lambda_L = \frac{\epsilon \cdot p_a \cdot h^2}{2160 \cdot \pi \cdot d \cdot \gamma \cdot 12 \cdot g \cdot R T \cdot \ln \frac{r_a}{r_o}} \cdot \sqrt{\frac{\alpha_d}{1 + \alpha_d}} \quad \dots (16)$$

$$\alpha_d = \frac{\ln 2 - \frac{\pi}{4} \cdot \frac{k}{R \cdot \eta}}{\ln \frac{V \cdot d}{2 \cdot P_0}} = \frac{\ln 2 - \frac{\pi}{4} \cdot 1,11}{\ln \frac{2 \cdot 2 \cdot 10^{-4}}{2 \cdot 13 \cdot 10^{-3}}} =$$

$$\frac{K}{K^*} = \frac{\ln \frac{r_a}{r_i}}{\pi \cdot \frac{\epsilon}{360}} = \frac{\ln \frac{18}{7,5}}{\pi \cdot \frac{90}{360}} = 1,11$$

k výpočtu použiji Ø trysky  $d = 2 \cdot 10^{-4}$  m

ložiskové číslo  $\lambda_L$  z rovnice č. 16

$$\lambda_L = \frac{90 \cdot 10^5 \cdot (3 \cdot 10^{-6})^2}{2160 \cdot 4,26 \cdot 10^{-2} \cdot 2 \cdot 10^{-4} \cdot 1,779 \cdot 10^{-5} \cdot 12 \cdot 9,81 \cdot 29,27 \cdot 293} \cdot \ln \frac{18}{7,5} \cdot \sqrt{\frac{4,26 \cdot 10^{-2}}{1 + 4,26 \cdot 10^{-2}}} = 0,374$$

$$\frac{p_o}{p_a} = \frac{0,568}{0,1} = 5,68$$

$$\frac{p_1}{p_a} = 2,4 \quad p_1 = 2,4 \cdot 10^5 \text{ Pa}$$

$$\frac{p_a}{p_1} = \frac{0,1}{0,24} = 0,416$$

$$\frac{r_a}{r_o} = \frac{18}{13} \quad \frac{r_o}{r_i} = \frac{13}{17,5}$$

z obrázků 15, 16 se odečtou konstanty  $C_{KA}$  a  $C_{KI}$

$$C_{KA} = 0,27 \quad C_{KI} = 0,46$$

$$C_{\infty} = \frac{0,27 + 0,46 \cdot \frac{18}{7,5}}{1 - \frac{7,5^2}{18^2}} = 0,558$$

$$f = \sqrt{1 - \left[1 - \left(\frac{p_o}{p_1}\right)^2\right] \cdot \frac{1}{1 + \alpha_d}} = \sqrt{1 - \left[1 - \left(\frac{1}{2,4}\right)^2\right] \frac{1}{1 + 4,26 \cdot 10^{-2}}} = 0,982$$

$$C = C_{\infty} \cdot f = 0,558 \cdot 0,982 = 0,548$$

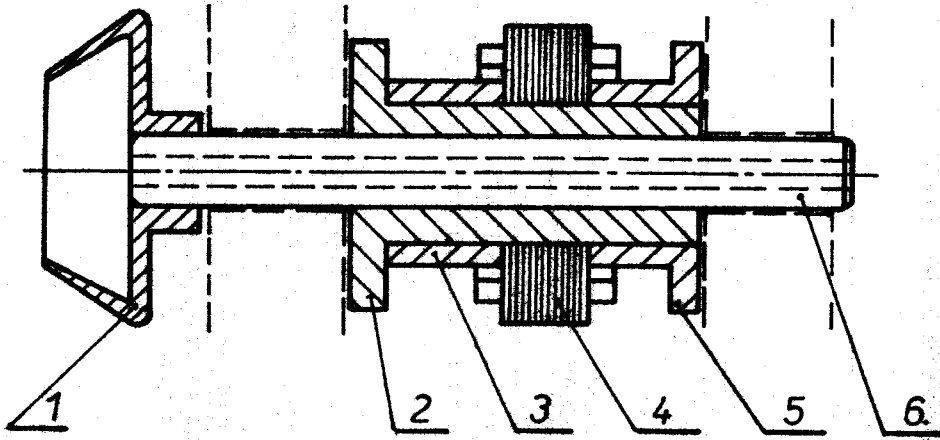
nosná síla pole:

$$F = (C \cdot p_t - p_a) \cdot S = (0,548 \cdot 2,4 \cdot 10^5 - 1 \cdot 10^5) \cdot 2,1 \cdot 10^{-4} = \\ = 6,62 \text{ N}$$

nosná síla celého ložiska:

$$F_L = F \cdot 4 = 26,5 \text{ N}$$

#### 4.3. Výpočet příkonu ložiska

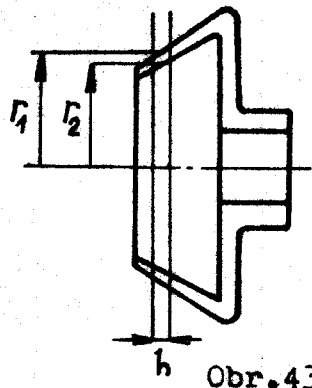


Obr. 42

- |                             |                              |
|-----------------------------|------------------------------|
| 1 - rotor jednotky SÜSSEN Ø | 4 - rotor vysokofrekvenčního |
| 2 - pouzdro                 | motorku                      |
| 3 - kroužek                 | 5 - kroužek                  |
|                             | 6 - hřídelka                 |

Výpočet momentů setrvačnosti jednotlivých částí:  
rozměry odměřeny z detailních výkresů

K výpočtu momentu setrvačnosti rotoru si tento rozdělíme myšlenými řezy na několik prstenců a spočítáme moment setrvačnosti každého prstence. Celkový moment setrvačnosti je součtem momentů dílčích.



Obr.43

moment setrvačnosti jednoho prstence:

$$J_1 = \frac{1}{2} \cdot \pi \cdot h \cdot \rho \cdot (R_1^4 - R_2^4)$$

celkový moment setrvačnosti:  $J_c = \sum_{i=1}^7 J_i$

$$J_1 = \frac{1}{2} \cdot \pi \cdot 2 \cdot 10^3 \cdot 2,8 \cdot 10^3 \cdot [2,35 \cdot 10^{24} - (2,25 \cdot 10^{24})] = \\ = 4,28 \cdot 10^7 \text{ kg} \cdot \text{m}^2$$

$$J_2 = 4,86 \cdot 10^7 \text{ kg} \cdot \text{m}^2$$

$$J_3 = 5,49 \cdot 10^7 \text{ kg} \cdot \text{m}^2$$

$$J_4 = 9 \cdot 10^7 \text{ kg} \cdot \text{m}^2$$

$$J_5 = 1 \cdot 10^6 \text{ kg} \cdot \text{m}^2$$

$$J_6 = 5,77 \cdot 10^6 \text{ kg} \cdot \text{m}^2$$

$$J_7 = 2,7 \cdot 10^7 \text{ kg} \cdot \text{m}^2$$

$$J_{c1} = \sum_{i=1}^7 J_i = 9,4 \cdot 10^6 \text{ kg} \cdot \text{m}^2$$

momenty setrvačnosti částí podle obr. 42 :

$$J_2 = 1,36 \cdot 10^5 \text{ kg} \cdot \text{m}^2$$

$$J_5 = 7,4 \cdot 10^6 \text{ kg} \cdot \text{m}^2$$

$$J_3 = 4,9 \cdot 10^6 \text{ kg} \cdot \text{m}^2$$

$$J_6 = 4,7 \cdot 10^6 \text{ kg} \cdot \text{m}^2$$

$$J_4 = 2,7 \cdot 10^5 \text{ kg} \cdot \text{m}^2$$

$$J_{c2} = \sum_{i=1}^5 J_i = 6,7 \cdot 10^5 \text{ kg} \cdot \text{m}^2$$

moment setrvačných hmot při rozběhu, volím dobu rozběhu

$$t_r = 30 \text{ sekund;}$$

$$M_{rc} = (J_{c_1} + J_{c_2}) \cdot \varepsilon = 7,64 \cdot 10^{-5} \cdot \frac{\pi \cdot 10^5}{30 \cdot 30} = 0,022 \text{ Nm}$$

Třecí momenty v radiálním a axiálním ložisku:

$$M_{tc} = 2 \cdot (M_{tr} + M_{ta}) = 2 \left[ \frac{2 \cdot r \cdot r^3 \cdot \gamma \cdot \omega \cdot l}{c \sqrt{1 - \lambda^2}} + \frac{2}{3} \cdot r \cdot \gamma \cdot \omega \cdot (r_1^3 - r_2^3) \right]$$

třecí moment v radiálním ložisku z rovnice na str. 56

$$M_{tc} = 2 \cdot \left\{ 1,85 \cdot 10^3 + \frac{2}{3} \cdot r \cdot 1,779 \cdot 10^5 \cdot \frac{\pi \cdot 10^5}{30} \cdot \right. \\ \left. \cdot [(18 \cdot 10^3) - (7,5 \cdot 10^3)] \right\} = 3,5 \cdot 10^3 \text{ Nm}$$

odebraný příkon při rozběhu z 0 na 100 000 ot/min  
s uvažovanou dobou rozběhu  $t_r = 30 \text{ s}$

$$P = (M_{rc} + M_{tc}) \cdot \omega = (22 \cdot 10^3 + 3,5 \cdot 10^3) \cdot \frac{\pi \cdot 10^5}{30} = 267 \text{ W}$$

## 5. EKONOMICKÉ ZHODNOCENÍ ULOŽENÍ SPRÁDNÍCH ROTORŮ JEDNOTEK BD 200 A SÜSSEN.

Volba uložení sprádního rotoru značně ovlivňuje cenu celého stroje. Uložení a pohon rotoru by měly zajišťovat vysokou produktivitu práce a pokud možno nízkou spotřebou energie. Tyto požadavky nelze v krátké době zajistit, jde tu o dlouhodobý výzkum. Při řešení tohoto úkolu vystupují do popředí další vlivy, jako hlučnost zařízení, vibrace při vysokých otáčkách. Podklady pro hodnocení byly získány ve VÚB Ústí nad Orlicí. Jednotka Süssen má tyto zásadní výhody:

- 1/ umožňuje použití pracovních otáček do 100 000 za min.
- 2/ životnost valivého uložení opěrných kotoučů při třísměnném provozu je 5 let
- 3/ jednoduchá obaluha a snadná výměna komory podle stupně spřádaných vláken.

Na jednotce Süssen bylo provedeno měření výkonu s komorou BD 200 o  $\varnothing$  65 mm, na jednotce BD s vřetenem SP 66/40 byl měřen výkon rovněž s  $\varnothing$  komory 65 mm. Výkon P byl měřen na obou jednotkách v rozsahu 20 000 až 90 000 za min. Ze získaných hodnot byl sestaven graf - obr. 44. Ekonomické zhodnocení je provedeno podle obrázku pro 40 000 otáček za minutu.

Při uložení Süssen s komorou BD 200  $\varnothing$  65 mm - příkon 98 W, komora BD 200  $\varnothing$  65 mm uložení valivé, vřeteno SP 66/40 -  
- příkon 63 W.

Výpočet spotřeby elektrické energie u obou sprádacích jednotek za 1 hod.

$$\begin{aligned} \text{BD 200 : } & E = 63 \text{ Wh} = 63 \cdot 10^{-3} \text{ kWh} \\ \text{Süssen : } & E = 98 \text{ Wh} = 98 \cdot 10^{-3} \text{ kWh} \end{aligned}$$

Cena 1 kWh je 0,45 Kčs, hodinová spotřeba v Kčs bude:

$$\begin{aligned} \text{BD 200 : } & 63 \cdot 10^{-3} \cdot 0,45 = 28,35 \cdot 10^{-3} \text{ Kčs/hod.} \\ \text{Süssen : } & 98 \cdot 10^{-3} \cdot 0,45 = 44,10 \cdot 10^{-3} \text{ Kčs/hod.} \end{aligned}$$

Předpokládám dvousměnný provoz, tedy 4 420 pracovních hodin ročně.

Pak cena elektrické energie za rok bude:

$$BD \ 200 : 28,35 \cdot 10^{-3} \cdot 4420 = 125,30 \text{ Kgs}$$

$$\text{Sůszen : } 44,10 \cdot 10^3 \cdot 4420 = 194,92 \text{ Kčs}$$

Rozdíl činí 69,62 Kčs.

Zvyšování otáček u uložení BD 200 je omezeno konstrukcí, tedy valivými ložisky. Toto uložení je schopné spolehlivě pracovat při 40 000 ot. za min. Další zvyšování otáček má za následek porušení funkčních plechů ložisek. Z obr. 45 lze vyčíst spotřebovaný příkon pro 70 000 ot. za min.

a/ komora Ø 47 na jednotce Sussen P = 112 W

b/ komora Ø 47 s uložením na vzduchovém polštáři P = 80 W

Zde je vidět, že jednotka Sūssen je ekonomicky náročnější na spotřebovanou energii. Do údaje komory uložené na vzduchovém ložisku není zahrnuta energie na výrobu stlačeného vzduchu, údaj by byl o 20 % vyšší, tedy  $P = 100$  W.

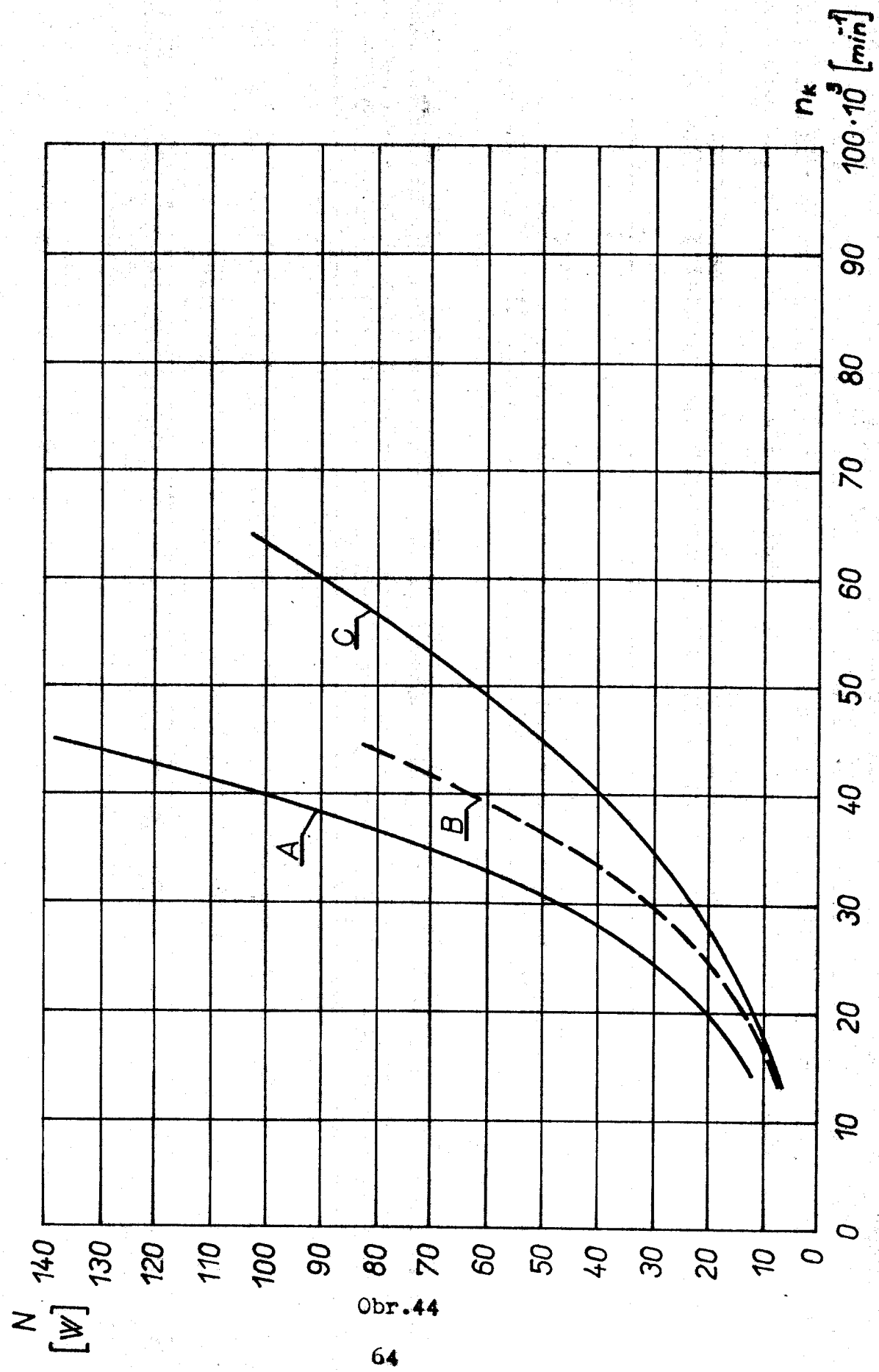
### Vysvětlivky k obrázkům:

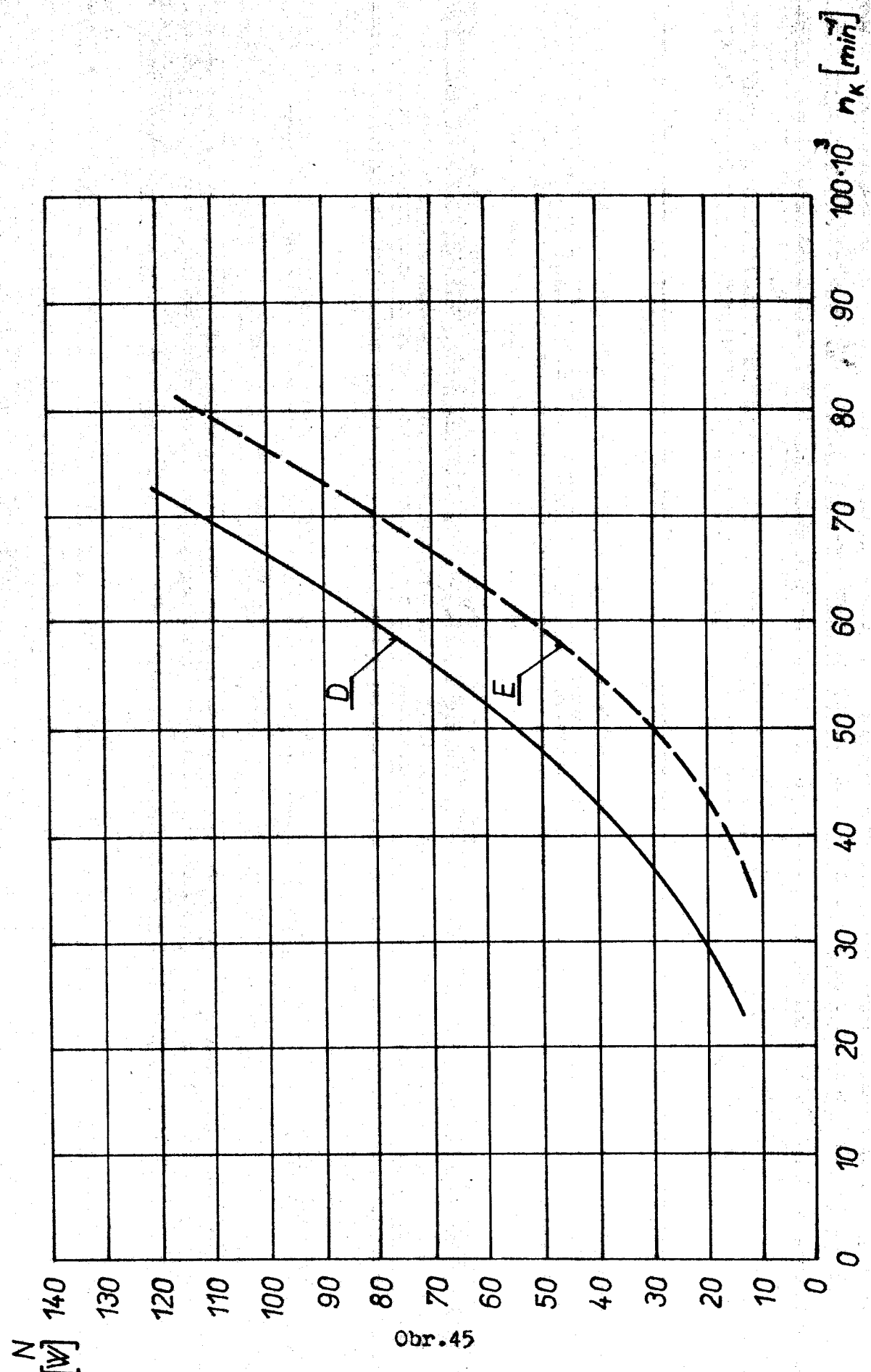
obr. 44: A - komora BD 200 Ø 63 mm, odvalovací uložení  
Sūsen

B - komora BD 200 Ø 65 mm, uložení - vřeteno SP 66/40

C - sprádní komora i uložení Süssen

obr. 45: D - spřádní komora Ø 47 mm, uložení Süssen  
 E - komora Ø 47 mm, uložení na vzduchovém polštáři





Obr. 45

## 6. ZÁVĚR

Navržené vzduchové ložisko má v porovnání s ložiskem zkonstruovaným ve VÚB Ústí nad Orlicí značně vyšší příkon. Toto je dáno jednak zvýšením otáček na 100 000 za minutu, jednak poměrně vysokým momentem sestrvačnosti rotujících částí. Při výpočtu jsem uvažoval dobu rozběhu 30 sekund, snížením by se značně zvýšil příkon. Dalším snížením hmotnosti rotoru by klesl příkon nutný k rozběhu. Při srovnání sprádních jednotek s ohledem na uložení rotoru vyplývají nesporné přednosti jednotky Süssen. Největší přednosti se jeví jednoduchá a rychlá výměna rotorů při změně délky sprádaných vláken. Výměna rotorů přináší značné ekonomické úspory oproti jednotce BD 200 s pevně fixovaným rotorem. U vysoko-otáčkových sprádních jednotek je též důležitá poloha osy rotoru vůči odtahevané přízi z hlediska přetrhu. Nejvýhodnější se jeví odtah příze v ose rotoru, při němž je příze nejkvalitnější. Uložení na vzduchovém polštáři je zatím jen v oblasti vývoje a jestliže se podaří odstranit nedostatky, které se u prototypu ložiska stroje EDA objevily jako chvění a vibrace při vysokých otáčkách použitím vhodného tlumicího materiálu, bude toto uložení nenáročné na obsluhu a ekonomicky výhodné.

**Seznam výkresů:**

1/ Konstrukční výkres sestavení navrženého ulo-  
žení spřádního roteru na vzduchovém polštáři  
č. TS/80 - PŘ - 01. 00 00

detailní výkresy:

- 2/ č. TS/80 - PŘ - 00. 00 01
- 3/ č. TS/80 - PŘ - 00. 01 02
- 4/ č. TS/80 - PŘ - 00. 00 03
- 5/ č. TS/80 - PŘ - 00. 00 04
- 6/ č. TS/80 - PŘ - 00. 00 05
- 7/ č. TS/80 - PŘ - 00. 00 06
- 8/ č. TS/80 - PŘ - 00. 00 07
- 9/ č. TS/80 - PŘ - 00. 00 08
- 10/ č. TS/80 - PŘ - 00. 00 10

**POUŽITÁ LITERATURA.**

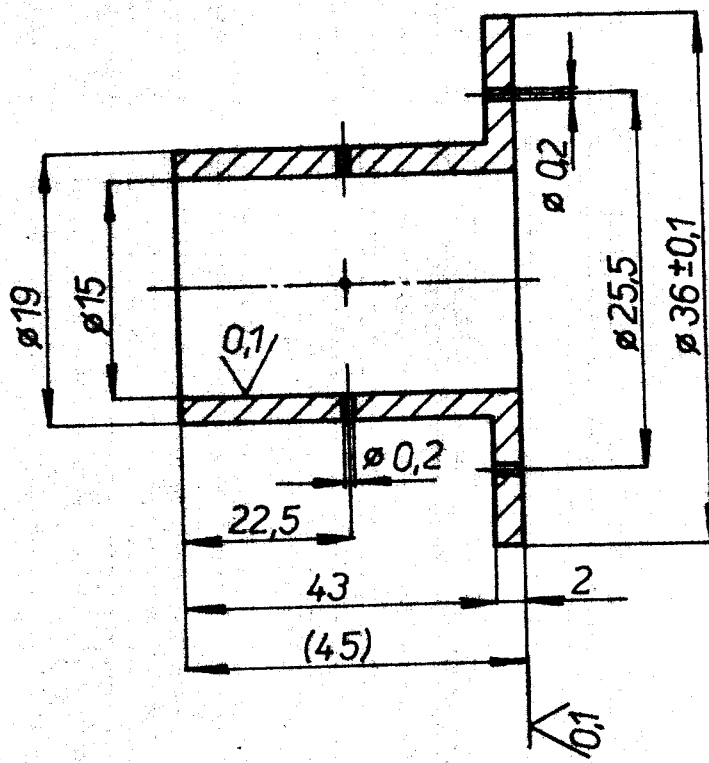
- 1/ N. S. Grassam: Podšipníky s gazovou smazkou, "Mir"  
Moskva 1960
- 2/ S. A. Šejnberg: Gazovaja smazka podšipnikov skloženija  
Sborník VIII
- 3/ E. Loch: Aerostatická ložiska  
Konstruktion 3,4 1967
- 4/ ing. J. Trnka: Směrnice pro výpočet a konstrukci radiálních aerostatických ložisek  
Zpráva SVÚSS - 64 - 03038
- 5/ V. Rohlena a kol: Bezvřetenové předení  
SMTL Praha 1974
- 6/ Prospekty firmy Süßen
- 7/ Firemní literatura VÚB Ústí nad Orlicí
- 8/ Výzkumná zpráva VŠST Z-TT-51/70

## **P o d ě k o v á n i**

Na závěr bych chtěl poděkovat za rady a připomínky  
při vypracování diplomové práce.

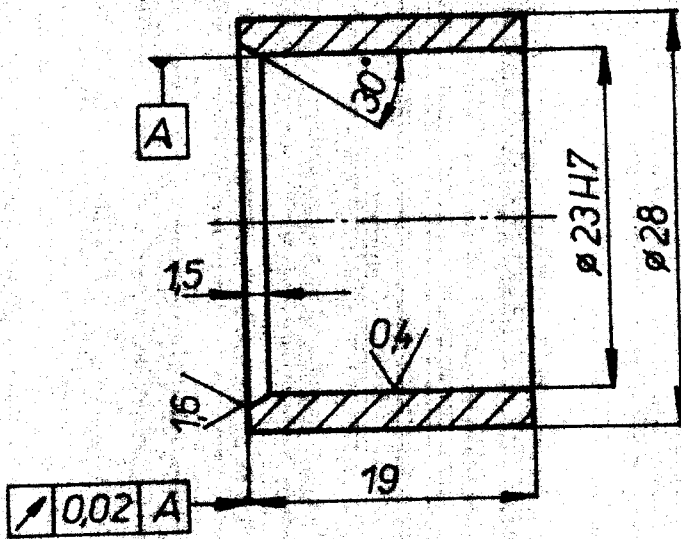
s. Doc. Ing. Jaroslavu Charvátovi, CSc  
s. Ing. Josefу Rípkovi, CSc

0.1 0.8



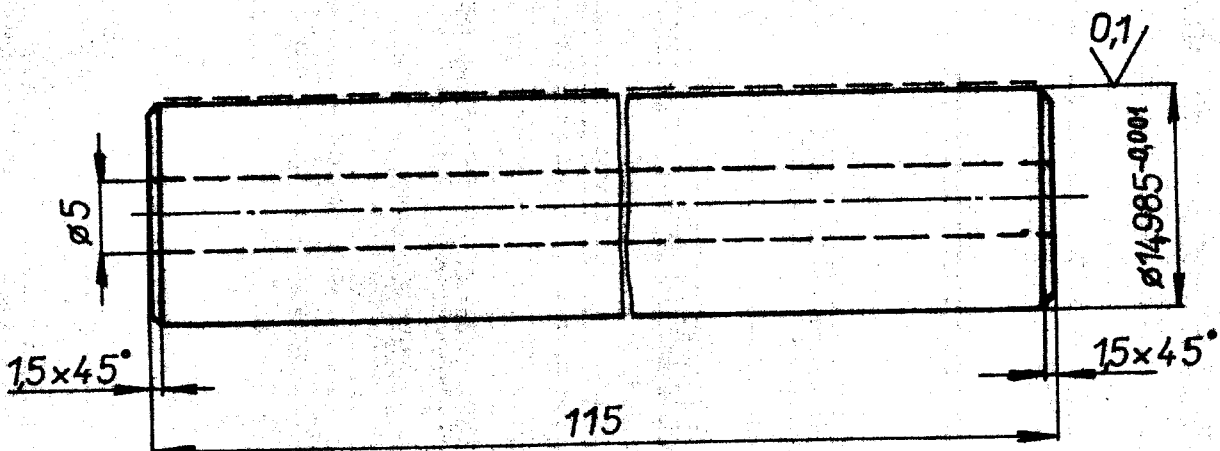
		GRAFIT SE 81G						TS/80-PR-00- -01-00		
Název číslo	Název - Rozměr	Potiskovac	Materiál	Mater. výchozí	Titul. Odp.	Č. výroba	Hr.váha	Číslo výkresu	Aoa	
					Celková č. váha kg					
Poznámka										
Materiál  2:1	Kreslit J. Hamr			Čís. sním.						
	Překoupen									
	Norm. ref.									
	Výr. projednat	Schvédil			Č. transp.					
		Dne								
VYSOKÁ ŠKOLA STROJNÍ LIBEREC		Type	Skupina	Starý výkres				Nový výkres		
		Název								
		VLOŽKA				TS/80-PR-00-00-03				
						Počet listů				

6,3 (1,5, 0,6)



TYČ # 28-21		CSN 425516,10	19721.1					TS/80-PR-01- -00-00
Aut. kresl.	Název - Rozměr	Poločovat	Mater. kroměříž	Mater. výchozí	Thick. Odp.	Č. vrha	Hr.vrha	Číslo výkresu
Poznámka		Celkové č. vrha kg						Poz.
Mátko  2:1	Kreslil J. Kamec		Čís. sním.					
	Prezkousel							
	Norm. ref.							
	Vyr. projednal	Schrálil	Č. transp.					
		Dne						
VYSOKÁ ŠKOLA STROJNÍ LIBEREC		Typ Název	Skupina	Starý výkres	Nový výkres			
KROUŽEK				TS/80-PR-00-00-04				

32, (0,1)  
✓



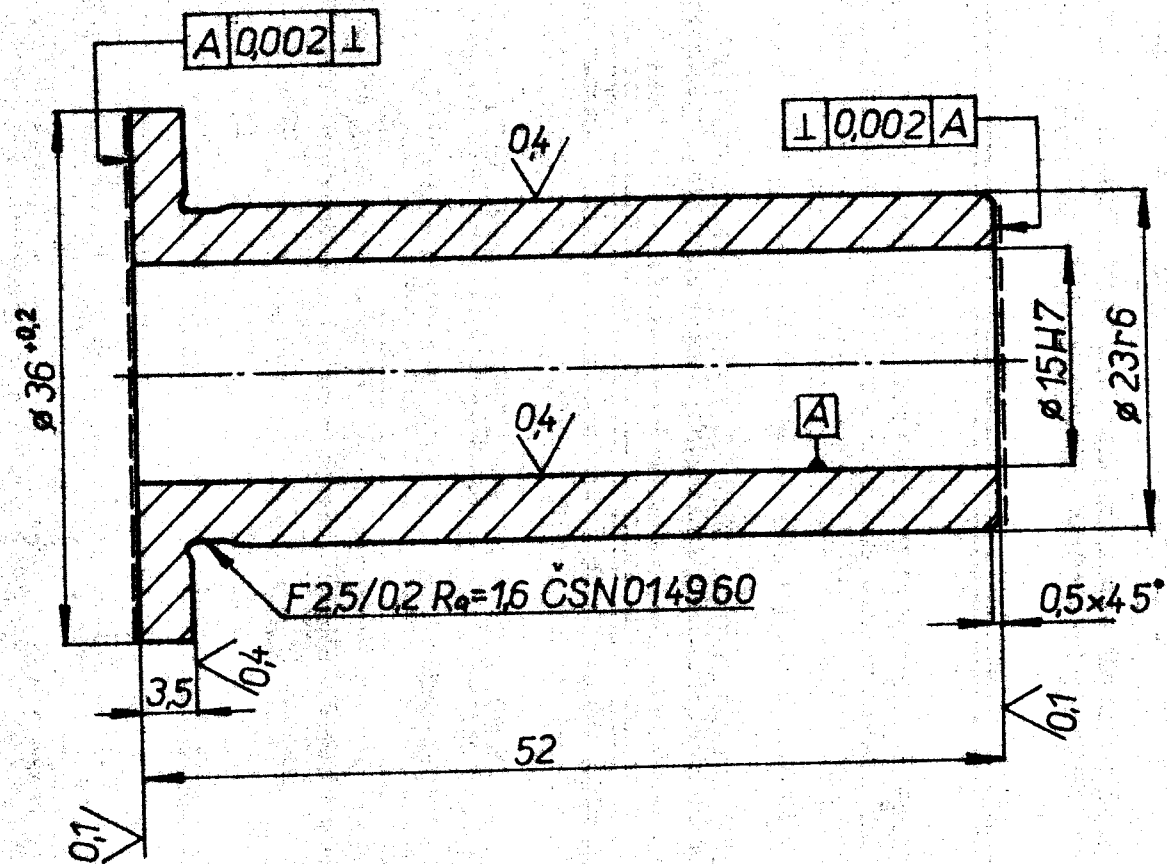
3. KALIT A POPUSTIT NA 62±2 HRC

2. PO VYHRUBOVANI ZIHAT

1. --- LAPOVAT

	TYČ Ø 17 x 120	CSN 42 55 16.10	19721.4	19721.1				TS/80-PR-01: -00-00
Autor kresl.	Název - Rozměr	Poločovaz	Mat. konečný	Mat. výchozí	Mata Odp.	C.váha	Hr.váha	Číslo výkresu
Poznámka								Pos.
Měřitko	Kreslil J. Hanus		Čís. sním.					
2:1	Prezkoušel							
	Norm. ref.							
	Výr. projednat	Schvátil	Č. transp.					
		Dne	Z					
		Typ	Skupina	Starý výkres	Nový výkres			
VYSOKÁ ŠKOLA STROJNÍ LIBEREC		Název			TS/80-PR-00-00-05			
		HŘÍDELKA		Podpis	Dok.			

04 0,1

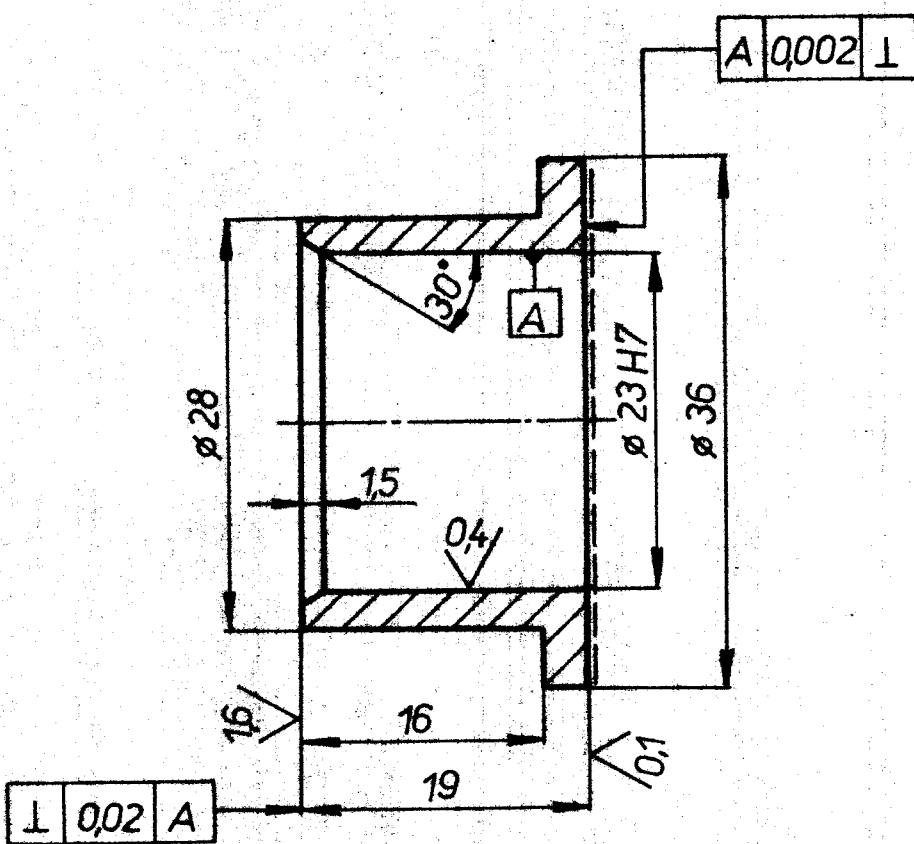
3. KALITA A POPUSTIT NA  $62 \pm 2$  HRC

2. PO VYHRUBOVÁNÍ ŽÍHAT

1. LAPOVÁNO

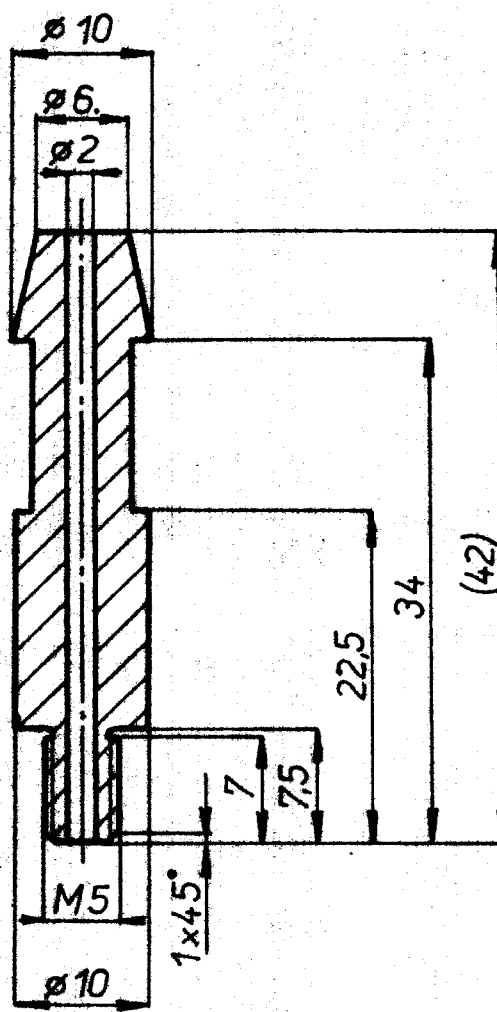
TYČ 38-54		CSN 42 5516.10	19 721.4	19 721.1			TS/80-PR-01-00-00		
Pořadí číslo	Název - Rozměr	Počítovací	Mat. konečný	Mat. výchozí	Třída Odp.	Č. váha	Hr.váha	Číslo výkresu	Pos.
Poznámka		Celkové č. váha kg							
Měřítko 2:1	Kreslil J. Kameš		Čís. sním.	Č. transp.	Zpráva	Datum	Podpis	Index změny	
	Prezkruskol				•		X		
	Norm. ref.				•		X		
	Výr. projednal	Schválil			•		X		
		Dne							
VYSOKÁ ŠKOLA STROJNÍ LIBEREC		Typ Název	Skupina	Starý výkres		Nový výkres			
		POUZDRO				TS/80-PŘ-00-00-06			
				Počet listů				Už	

16 04 01



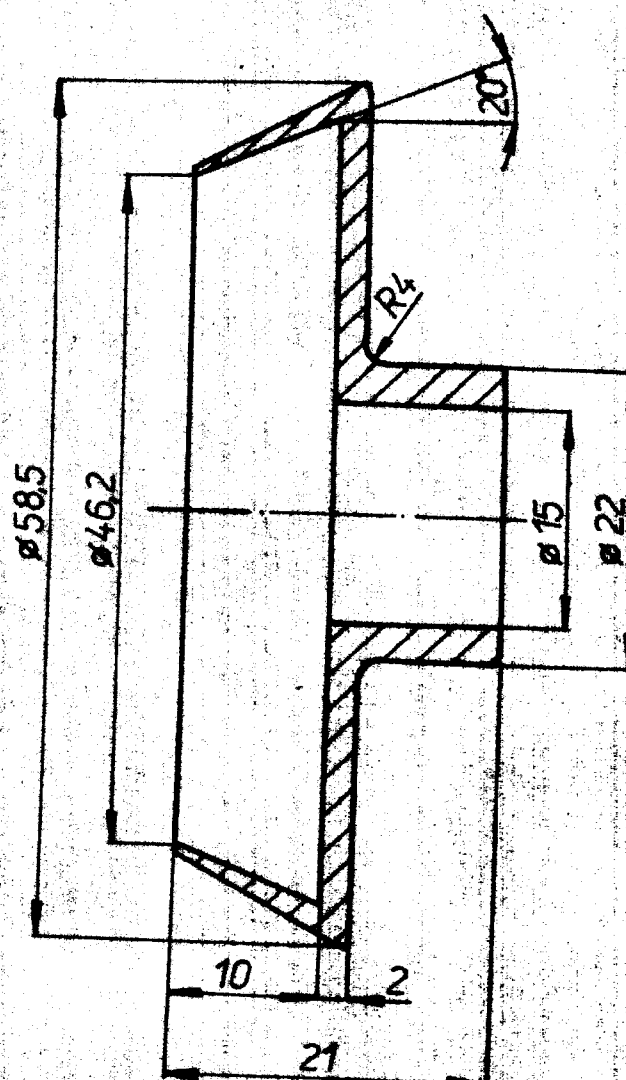
3. KALIT A POPUSTIT NA  $62 \pm 2$  HRC  
 2. PO VYHRUBOVÁNÍ ŽIHAT K ODSTRANĚNÍ VNITŘNÍHO PNUTÍ  
 1. —— LAPOVAT

TYČ ø38-22		ČSN 42 55 16.10	19 721.4	19 721.1				TS/80-PŘ-01- -00-00	
počet kusu	Název - Rozměr	Položovat	Mater. konečný	Mater. výchozí	Typka Odp.	Č. výroba	Hr.výroba	Číslo výkresu	Pos.
Poznámka									
Matrička  2:1	Kreslil J. Hamant			Čís. sním.					x
	Pleskoušel			Změna					x
	Norm. ref.			Datum					x
	Výr. pro/ednáv	Schrávili		Počet					x
	Dne	Č. transp.	Index změny						
VYSOKÁ ŠKOLA STROJNÍ LÍDÈREC		Typ Název	Skupina	Starý výkres	Nový výkres				
KROUŽEK				Počet listů					
TS/80-PŘ-00-00-07								Uve	



TYC #10-44		CSN 42 65 10	11 500,0				TS/80-PR-01 -00-00			
Podle kód.	Název - Rozměr	Potiskový	Mater. konečný	Mater. výchozí	Mater. Odm.	C. výroba	H. výroba	Číslo výkresu	Pop.	
<b>Pořadí řešení</b>										
2:1	Kreslil		Čís. sním.	Čís. transp.	Celková č. výroba kg					
	Prezkoušel				Z	M	N	O	P	Q
	Norm. ref.				1	2	3	4	5	6
	Výr. projednatel	Schválil			7	8	9	10	11	12
		Dne			13	14	15	16	17	18
VYSOKÁ ŠKOLA STROJNÍ LIBEREC		Type	Skupina	Starý výkres			Nový výkres			
Název										
VÝVODKA								TS/80-PR-00-08		
Podle kód.								Ulož.		

08 ✓



TYC Ø 53-25		CSN 42 7610	42 4254.60	Mot. výchozí Mota. Odp.	C. váha Mr.váha	TS/80-PŘ-01- -00-00
Poznámka	Název - Rozměr	Potolovor	Mot. konečný			Cílový výkres
Měřítko 2:1	Kreslil J. Hanák Prezkoval Norm. ref. Vyr. projednal		Cís. sňím.	Celková č. váha kg		Datum
		Schválil:		O		Podepis
		Dne	C. transp.	+		
VYSOKÁ ŠKOLA STROJNÍ LIBEREC	Type Název	Skupina	Starý výkres	Novy výkres	Tisk zkratky	
SPRÁDNÍ ROTOR				TS/80-PŘ-00-00-10 Počet 1000		